

ЗАСТОСУВАННЯ ДВОЧАСТИНКОВОГО РІВНЯННЯ ДІРАКА У СПЕКТРОСКОПІЇ МЕЗОНІВ

А. Дувіряк

*Інститут фізики конденсованих систем НАН України,
вул. Свенціцького, 1, Львів, UA-79011, Україна
(Отримано 16 січня 2007 р.)*

Двочастинкове рівняння Дірака із загальним локальним потенціалом зведено до пари звичайних диференціальних рівнянь 2-го порядку для радіальних компонент хвильової функції. Знайдено клас спеціальних потенціалів, для яких рівняння допускає точні розв'язки. Для інших випадків запропоновано псевдопертурбативний метод розкладів за $1/j$. Побудовано кілька моделей легких мезонів, обчислено точні та наближені спектри енергій. Вони порівнюються з експериментальними даними.

Ключові слова: двочастинкове рівняння Дірака, псевдопертурбативний метод, траєкторії Редже.

PACS number(s): 03.65.Pm, 03.65.Ge, 12.39.Pn

I. ВСТУП

Двочастинкове рівняння Дірака (2ЧРД) все частіше використовують у релятивістській задачі про зв'язані стани. Окрім двох діраківських вільночастинкових членів, воно містить оператор, що описує взаємодію двох ферміонів зі спіном $1/2$. Як приклади згадаємо потенціал Брайта [1, 2] або інші версії електромагнетного потенціалу (простіші [3–5] чи складніші [6–8]), а також його узагальнення, що використовують для опису міжкваркової [9–16] чи міжнуклонної [17, 18] взаємодій¹. Усі ці потенціали є локальними в координатному представленні; вони виводяться з класичної [6–8] та напівквантової [5, 21–23] теорії поля або підбираються феноменологічно².

Тривалий час 2ЧРД розглядали лише в межах теорії збурень — квазірелятивістських наближень і/або розкладів за константою взаємодії. Для електромагнетної взаємодії тільки таке тлумачення рівняння Брайта (і то лише в 1-му наближенні) має фізичний сенс [2]. У задачах із сильним зв'язком використання теорії збурень є необґрунтованим. До 2ЧРД з різноманітними локальними потенціалами стали застосовувати непертурбативні методи, які полягали у зведенні його шляхом розділення змінних (на радіальну і спін-кутові) до системи звичайних диференціальних рівнянь (так звана *радіальна редукція*) з

подальшим аналітичним або чисельним інтегруванням [5, 7–9, 11–15, 17, 18, 22].

І одразу непертурбативний розгляд 2ЧРД виявляє притаманні цьому рівнянню патологічні особливості. У багатьох фізично цікавих випадках радіально редукована система має залежні від енергії нефізичні полюси при скінченних відстанях між частинками [22, 29, 30]. Така краєва задача у строгому математичному сенсі виявляється некоректною або невідповідною її фізичному змістові. Це спонукало авторів у цій галузі до модифікації крайової задачі [11], самих рівнянь [13, 14] або використання залежних від енергії потенціалів [30].

Попри значну кількість розглянутих часткових прикладів, загальний вигляд радіально зредукованого 2ЧРД, структура нефізичних патологій та шляхи їх уникнення в літературі майже не обговорювали.

У цій роботі здійснено радіальну редукцію 2ЧРД із загальним двоферміонним потенціалом, локальним у координатному представленні. Такий потенціал, що включає всі згадані вище приклади як часткові, отримали Нікітін та Фуцич [31] з вимоги обертової інваріантності рівняння³. З фізичних міркувань ми обмежуємо цей потенціал до ермітового і явно параметризуємо 48-ма дійсними скалярними функціями відстані між частинками.

Радіальну редукцію 2ЧРД з таким потенціалом

¹Деяко інший підхід, який теж називають двочастинковими рівняннями Дірака (вживаючи, однак, термін “рівняння” у множині), запропонували Сазджан [19] та Кратер і ван Алстін [20]. На відміну від рівняння типу Брайта, тут систему двох частинок описано не одним, а двома рівняннями типу Дірака, структура яких передусім зумовлена математичною вимогою сумісності, а вже потім — фізичним змістом взаємодії. Таких рівнянь тут не розглядаємо.

²У рівняннях квантово-польового походження, таких, як рівняння Бете–Салпетера [2, 24, 25] або квазіпотенціальні [26–28], взаємодію описують складним інтегральним оператором в імпульсному представленні.

³Обертова інваріантність є залишковою симетрією після переходу в систему відліку центра мас.

здійснено за відомою схемою [5, 22] (див. також [7–9, 11, 13, 15, 17, 18]), яка приводить до системи 8-ми диференціальних рівнянь 1-го порядку. Подальша низка перетворень — спочатку до системи 4-х диференціальних рівнянь 1-го порядку, а потім — до пари рівнянь 2-го порядку — дає змогу явно простежити появу нефізичних сингулярностей і звести задачу до зручного для аналізу вигляду.

Так знаходимо клас потенціалів, для яких одержана система рівнянь не є патологічною, а серед них — точно розв’язувані випадки, що є узагальненнями відомих у літературі діраківських осциляторів [32–34].

Для решти випадків пропонуємо псевдопертурбативний метод розв’язування 2ЧРД із використанням розкладів за $1/j$ (де j — квантове число повного моменту імпульсу системи), який застосовний до сильного зв’язку і нечутливий до існування особливих точок крайової задачі. Метод узагальнює техніку розкладів за $1/N$ [35–37] або $1/\ell$ [38, 39] на випадок двох зв’язаних рівнянь із нелінійною залежністю від спектрального параметра.

Результати точного та псевдопертурбативного аналізу 2ЧРД застосовано до опису спектрів легких мезонів. Спочатку будуємо точно розв’язувану модель із потенціалом, що є суперпозицією лінійного та кулонівського членів зі складною спіноювою структурою. Далі методом $1/j$ розглядаємо кілька моделей із різними лінійними потенціалами скалярного типу і кулонівськими — векторного типу. Отримані точні та наближені спектри аналізуємо і порівнюємо із реальними спектрами легких мезонів.

II. ЗАГАЛЬНА СТРУКТУРА ПОТЕНЦІЯЛУ

У системі відліку центра інерції 2ЧРД має вигляд:

$$\{h_1(\mathbf{p}) + h_2(-\mathbf{p}) + U(\mathbf{r}) - E\} \Phi(\mathbf{r}) = 0, \quad (2.1)$$

де $\Phi(\mathbf{r})$ є 16-компонентною хвильовою функцією (діраківським 4×4 -біспінором), залежною від відносного радіус-вектора \mathbf{r} ,

$$h_a(\mathbf{p}) = \boldsymbol{\alpha}_a \cdot \mathbf{p} + m_a \beta_a \equiv -i \boldsymbol{\alpha}_a \cdot \nabla + m_a \beta_a, \quad a = 1, 2, \quad (2.2)$$

є діраківськими гамільтоніями вільних частинок із масами m_a , $a = 1, 2$, $\mathbf{p} = -i \nabla$, а $U(\mathbf{r})$ — потенціал взаємодії. Якщо скористатися 4×4 -матричним представленням для $\Phi(\mathbf{r})$, то оператори $\boldsymbol{\alpha}_a$ та β_a діють так: $\boldsymbol{\alpha}_1 \Phi = \boldsymbol{\alpha} \Phi$, $\boldsymbol{\alpha}_2 \Phi = \Phi \boldsymbol{\alpha}^T$ і т. д., де $\boldsymbol{\alpha}$ та β — матриці Дірака.

Потенціал $U(\mathbf{r})$ є мультиплікативним оператором у координатному представленні, інваріантним щодо просторових поворотів та інверсій. У [31] подано найзагальніший вигляд такого потенціалу:

$$U(\mathbf{r}) = \sum_{A=1}^{48} U_A(r) \Gamma_A. \quad (2.3)$$

Він параметризується 48-ма довільними (взагалі кажучи, комплексними) функціями $U_A(r)$ відстані між

частинками $r = |\mathbf{r}|$ (будемо називати їх парціальними потенціалами), а матриці Γ_A будуються в термінах матриць Дірака та одиничного вектора $\mathbf{n} = \mathbf{r}/r$.

У цій роботі будемо вимагати, щоби потенціал U був ермітовим у скалярному добутку

$$\langle \Psi | \Phi \rangle = \int d^3r \text{Tr}(\Psi^\dagger(\mathbf{r}) \Phi(\mathbf{r})), \quad (2.4)$$

а, отже, рівняння (2.1) — гамільтоновим. Вимога ермітовості зменшує довільність загального потенціалу до 48-ми дійсних довільних парціальних потенціалів.

Нижче ми пропонуємо ермітів базис для матриць Γ , що входять у загальний потенціал. Скористаймося для матриць Дірака співвідношенням $\boldsymbol{\alpha} = \gamma^5 \boldsymbol{\sigma}$, де компоненти σ_i ($i = 1, 2, 3$) вектора $\boldsymbol{\sigma}$ можна розуміти або як 2×2 -матриці Паулі, або як блок-діагональні 4×4 -матриці $\text{diag}(\sigma_i, \sigma_i)$ (що не повинно привести до непорозуміння). Цим самим $\boldsymbol{\alpha}$ умовно розділено на два множники, один з яких діє на “частинково-античастинкові” ступені вільності, а інший — на власне спінові ступені вільності. Назвімо умовно ці множники *діраківським* та *спіновим* відповідно. Подібно можна вчинити і з іншими матрицями Дірака чи їх добутками. Тепер, враховуючи, що при поворотах та інверсіях β поводитьься як скаляр, γ^5 — як псевдоскаляр, \mathbf{n} — як вектор, $\boldsymbol{\sigma}$ — як псевдовектор, зручно побудувати шуканий базис у вигляді добутку діраківського та спінового множників:

$$\Gamma_{ee} = \{I, \beta_1, \beta_2, \beta_1 \beta_2\} \times S, \quad (2.5)$$

$$\Gamma_{oo} = \gamma_1^5 \gamma_2^5 \times \Gamma_{ee},$$

$$\Gamma_{eo} = \{I, \beta_1, i\beta_2, i\beta_1 \beta_2\} \times \gamma_2^5 \times T, \quad (2.6)$$

$$\Gamma_{oe} : 1 \leftrightarrow 2,$$

де I — одиничний оператор,

$$S = \{S_{(i)}, i = 1, 2, 3\} \equiv \{I, \boldsymbol{\sigma}_1 \cdot \boldsymbol{\sigma}_2, (\boldsymbol{\sigma}_1 \cdot \mathbf{n})(\boldsymbol{\sigma}_2 \cdot \mathbf{n})\} \quad (2.7)$$

— множина скалярних, а

$$T = \{T_{(i)}, i = 1, 2, 3\} \equiv \{\boldsymbol{\sigma}_1 \cdot \mathbf{n}, \boldsymbol{\sigma}_2 \cdot \mathbf{n}, (\mathbf{n}, \boldsymbol{\sigma}_1, \boldsymbol{\sigma}_2)\} \quad (2.8)$$

— псевдоскалярних спінових множників. Матриці Γ в (2.5)–(2.6) згруповано, згідно з класифікацією Храпливого [40], у парно-парні оператори Γ_{ee} , непарно-непарні Γ_{oo} , парно-непарні Γ_{eo} та непарно-парні Γ_{oe} . Усі інші $O(3)$ -інваріантні ермітові матриці, побудовані в термінах матриць Дірака та вектора \mathbf{n} , виражаються через (2.5)–(2.6). Відповідно, і в потенціалі (2.3) можна виділити 4 доданки U_{ee} , U_{oo} , U_{eo} та U_{oe} .

Зручно перейти від матричного до блок-векторного представлення хвильової функції, розгорнувши у вектор її “частинково-античастинкові” ступені вільності:

$$\Phi(\mathbf{r}) = \begin{bmatrix} s(\mathbf{r}) & t(\mathbf{r}) \\ u(\mathbf{r}) & v(\mathbf{r}) \end{bmatrix} \quad \dashrightarrow \quad \begin{bmatrix} s(\mathbf{r}) \\ t(\mathbf{r}) \\ u(\mathbf{r}) \\ v(\mathbf{r}) \end{bmatrix}; \quad (2.9)$$

тут $s(\mathbf{r})$ — 2×2 -спінорна матриця, що є велико-великою компонентою хвильової функції (згідно з термінологією Храпливого [40]), а $t(\mathbf{r})$, $u(\mathbf{r})$ і $v(\mathbf{r})$ — відповідно велико-мала, мало-велика й мало-мала компоненти $\Phi(\mathbf{r})$.

У цьому представленні структуру загального потенціалу (2.3) можна описати компактніше, зібравши 48 парціальних потенціалів $U_A(r)$ у меншу кількість матричних діраківських мультиплетів — парно-парних, парно-непарних і т. д. Кожен такий мультиплет містить парціальні потенціали, що мають спільний спіновий множник:

$$U = U_{ee} + U_{oo} + U_{eo} + U_{oe} = \sum_{i=1}^3 \left\{ \left(\Delta_{ee}^{(i)} + \Delta_{oo}^{(i)} \right) S_{(i)} + \left(\Omega_{eo}^{(i)} + \Omega_{oe}^{(i)} \right) T_{(i)} \right\}, \quad (2.10)$$

де (упускаючи індекс i)

$$\Delta_{ee} = \begin{bmatrix} U_{11} & & & \\ & U_{22} & & \\ & & U_{33} & \\ 0 & & & U_{44} \end{bmatrix}, \quad (2.11)$$

$$\Delta_{oo} = \begin{bmatrix} 0 & & & W_{14} \\ & & W_{23} & \\ & & & \\ W_{14}^* & & & 0 \end{bmatrix}, \quad (2.12)$$

$$\Omega_{eo} = \begin{bmatrix} 0 & W_{12} & & \\ W_{12}^* & 0 & & \\ & & 0 & W_{34} \\ 0 & & W_{34}^* & 0 \end{bmatrix}, \quad (2.13)$$

$$\Omega_{oe} = \begin{bmatrix} 0 & & W_{13} & 0 \\ & & 0 & W_{24} \\ W_{13}^* & 0 & & \\ 0 & W_{24}^* & & 0 \end{bmatrix}, \quad (2.14)$$

де матричні елементи $U_{\alpha\beta}$ є дійсними, а $W_{\alpha\beta}$ — комплексними функціями від r (зірочка “*” позначає комплексне спряження), і мається на увазі, що кожен елемент множиться на одиничний спіновий оператор I . З огляду на структуру діраківських множників потенціали U_{ee} і U_{oo} (та їх суперпозиції) будемо називати *власними*, а U_{eo} і U_{oe} — *невласними*.

Щоб переконатися в еквівалентності представлень (2.3) і (2.10) потенціалу U , зауважимо, що діраківські множники $\Delta = \Delta_{ee} + \Delta_{oo}$ і $\Omega = \Omega_{eo} + \Omega_{oe}$ повинні бути ермітовими матрицями, причому власний множник Δ — скаляром, а невластий Ω — псевдоскаляром щодо просторової інверсії. Дія перетворення інверсії на діраківські множники Δ і Ω визначається оператором $\beta_1\beta_2$, який у такому представленні має вигляд:

$$\beta_1\beta_2 = \begin{bmatrix} I & & \\ & -I & 0 \\ 0 & & -I \\ & & & I \end{bmatrix}; \quad (2.15)$$

тут I — одинична 2×2 матриця. Легко переконатися, що $\beta_1\beta_2\Delta\beta_1\beta_2 = \Delta$, $\beta_1\beta_2\Omega\beta_1\beta_2 = -\Omega$. Оскільки сума $\Delta + \Omega$ є ермітовою 4×4 -матрицею загального вигляду, то Δ є найзагальнішою ермітовою 4×4 -матрицею скалярного типу, а Ω — псевдо-скалярного типу. Кожна з матриць (2.11)–(2.14) містить по 4 дійсні або 2 комплексні довільні функції r , і таких квадруплетів у виразі (2.10) міститься $4 \times 3 = 12$, що еквівалентно наявності 48-ми парціальних потенціалів у (2.3).

Розгляньмо нерелятивістське наближення 2ЧРД (2.1) з загальним потенціалом (2.3), застосувавши перетворення Фолді–Вайтгаузена–Храпливого [40]. У результаті отримаємо гамільтоніан: $H_{\text{нр}} = \sum_{a=1}^2 \beta_a (m_a + \mathbf{p}^2/2m_a) + U_{ee}$, який після проектування на додатно-енергетичні стани приводить до рівняння Шредингера з потенціалом

$$U_{\text{нр}}(\mathbf{r}) = U_{11}^{(i)}(r)S_{(i)} = U_{11}^{(1)}(r) + U_{11}^{(2)}(r)\boldsymbol{\sigma}_1 \cdot \boldsymbol{\sigma}_2 + U_{11}^{(3)}(r)(\boldsymbol{\sigma}_1 \cdot \mathbf{n})(\boldsymbol{\sigma}_2 \cdot \mathbf{n}). \quad (2.16)$$

Таким чином, із 48-ми парціальних потенціалів, що містяться у виразах (2.10)–(2.14), у нерелятивістській межі виживає 3.

Найцікавішими з фізичного погляду є потенціали, що допускають теоретико-польову інтерпретацію взаємодії. Зокрема потенціали, що відображають векторну структуру взаємодії, використовуються в задачах електродинаміки, скалярна структура з'являється в потенціальних моделях гадронів і т. д.

III. РАДІЯЛЬНА РЕДУКЦІЯ 2ЧРД

Здійснимо радіальну редукцію 2ЧРД, подібно до робіт [5, 22]. Виберім $F(\mathbf{r})$ власною функцією квадрата \mathbf{j}^2 і компоненти j_3 повного моменту імпульсу системи $\mathbf{j} = \mathbf{r} \times \mathbf{p} + \mathbf{s} = -i\mathbf{r} \times \nabla + \frac{1}{2}(\boldsymbol{\sigma}_1 + \boldsymbol{\sigma}_2)$ та парности P і представмо її у блок-векторному вигляді:

$$\Phi(\mathbf{r}) = \frac{1}{r} \begin{bmatrix} is_1(r)\phi^A(\mathbf{n}) + is_2(r)\phi^0(\mathbf{n}) \\ t_1(r)\phi^-(\mathbf{n}) + t_2(r)\phi^+(\mathbf{n}) \\ u_1(r)\phi^-(\mathbf{n}) + u_2(r)\phi^+(\mathbf{n}) \\ iv_1(r)\phi^A(\mathbf{n}) + iv_2(r)\phi^0(\mathbf{n}) \end{bmatrix} \quad (3.1)$$

для парности $P = (-)^{j\pm 1}$, та

$$\Phi(\mathbf{r}) = \frac{1}{r} \begin{bmatrix} is_1(r)\phi^-(\mathbf{n}) + is_2(r)\phi^+(\mathbf{n}) \\ t_1(r)\phi^A(\mathbf{n}) + t_2(r)\phi^0(\mathbf{n}) \\ u_1(r)\phi^A(\mathbf{n}) + u_2(r)\phi^0(\mathbf{n}) \\ iv_1(r)\phi^-(\mathbf{n}) + iv_2(r)\phi^+(\mathbf{n}) \end{bmatrix} \quad (3.2)$$

для парности $P = (-)^j$. Тут біспінорні гармоніки $\phi^A(\mathbf{n})$ відповідають повному спінові $s = 0$ та орбітальному моментові $\ell = j$, а $\phi^0(\mathbf{n})$, $\phi^-(\mathbf{n})$, $\phi^+(\mathbf{n})$ відповідають триплетові з $s = 1$ та $\ell = j, j + 1, j - 1$. Явний вигляд та властивості біспінорних гармонік подано в Додатку А. Тоді для $j > 0$ задача на власні стани (2.1)

зводиться до системи 8-ми диференційних рівнянь 1-го порядку із шуканими функціями $s_1(r) \dots v_2(r)$ та власним значенням енергії E .

Представмо цю систему в матричному вигляді, означивши 8-вимірну вектор-функцію $\Phi(r) = \{s_1(r), s_2(r), t_1(r), \dots, v_2(r)\}$:

$$\left\{ \mathbf{H}(j) \frac{d}{dr} + \mathbf{V}(r, E, j) \right\} \Phi(r) = 0. \quad (3.3)$$

Тут 8×8 -матриці $\mathbf{H}(j)$ та

$$\mathbf{V}(r, E, j) = \mathbf{G}(j)/r + \mathbf{m} + \mathbf{U}(r, j) - E\mathbf{I} \quad (3.4)$$

мають властивості: \mathbf{H} — дійсна, $\mathbf{H}^T = -\mathbf{H}$; \mathbf{V} — ермітова: $\mathbf{V}^\dagger = \mathbf{V}$; \mathbf{I} — одинична 8×8 матриця; діагональна матриця

$$\mathbf{m} = \text{diag}(m_+ \mathbf{I}, m_- \mathbf{I}, -m_- \mathbf{I}, -m_+ \mathbf{I}) \quad (3.5)$$

(тут $m_\pm = m_1 \pm m_2$, а \mathbf{I} — одинична 2×2 матриця) та j - і P -залежні матриці $\mathbf{H}(j)$, $\mathbf{G}(j)$ є сталими (тобто незалежними від r), а $\mathbf{U}(r, j)$ представляє потенціал (2.3). Оператор у лівій частині (3.3) є ермітовим щодо скалярного добутку:

$$\langle \Psi | \Phi \rangle = \int_0^\infty dr (\Psi^\dagger(r) \Phi(r)), \quad (3.6)$$

індукованого (2.4). У випадку $j = 0$ компоненти $s_2 = t_2 = u_2 = v_2 = 0$, так що вимірність задачі (3.3) зменшується з 8 до 4.

Усі згадані вище матриці зручно подати у блок-матричному вигляді. Для цього біспінорні гармоніки об'єднаємо у два дублети з різними парностями:

$$\hat{\phi} = \begin{bmatrix} \phi^A \\ \phi^0 \end{bmatrix}, \quad \hat{\epsilon} = \begin{bmatrix} \phi^- \\ \phi^+ \end{bmatrix}, \quad (3.7)$$

так що хвильові функції (3.1), (3.2) запишуться як:

$$\Phi = \frac{1}{r} \begin{bmatrix} i(s, \hat{\phi}) \\ (t, \hat{\epsilon}) \\ (u, \hat{\epsilon}) \\ i(v, \hat{\phi}) \end{bmatrix} \text{ для } P = (-)^{j \pm 1},$$

$$\Phi = \frac{1}{r} \begin{bmatrix} i(s, \hat{\epsilon}) \\ (t, \hat{\phi}) \\ (u, \hat{\phi}) \\ i(v, \hat{\epsilon}) \end{bmatrix} \text{ для } P = (-)^j; \quad (3.8)$$

тут $(s, \hat{\phi}) = s_1 \phi^A + s_2 \phi^0$ і т. д. Тепер, ураховуючи властивості біспінорних гармонік (див. [5, 22] та Додаток А) і означивши величини:

$$A = \sqrt{\frac{j+1}{2j+1}}, \quad B = \sqrt{\frac{j}{2j+1}}, \quad C = \sqrt{j(j+1)}, \quad (3.9)$$

та 2×2 -матриці:

$$\sigma_\uparrow = \frac{1}{2}(\mathbf{I} + \sigma_3) = \begin{bmatrix} 1 & 0 \\ 0 & 0 \end{bmatrix},$$

$$\sigma_\downarrow = \frac{1}{2}(\mathbf{I} - \sigma_3) = \begin{bmatrix} 0 & 0 \\ 0 & 1 \end{bmatrix}, \quad (3.10)$$

$$\tau = \begin{bmatrix} -3 & 0 \\ 0 & 1 \end{bmatrix}, \quad \mathbf{R} = \begin{bmatrix} A & B \\ -B & A \end{bmatrix} \quad (\mathbf{R} \in \text{O}(2)), \quad (3.11)$$

отримаємо в цих термінах:

$$\mathbf{G} = - \begin{bmatrix} 0 & \mathbf{R}(j+\sigma_\uparrow) & \mathbf{R}^T(j\sigma_3+\sigma_\uparrow) & 0 \\ (j+\sigma_\uparrow)\mathbf{R}^T & 0 & 0 & (j\sigma_3+\sigma_\uparrow)\mathbf{R} \\ (j\sigma_3+\sigma_\uparrow)\mathbf{R} & 0 & 0 & (j+\sigma_\uparrow)\mathbf{R}^T \\ 0 & \mathbf{R}^T(j\sigma_3+\sigma_\uparrow) & \mathbf{R}(j+\sigma_\uparrow) & 0 \end{bmatrix} \quad (3.12)$$

$$\mathbf{H} = \begin{bmatrix} 0 & -\mathbf{R}\sigma_3 & -\mathbf{R}^T & 0 \\ \sigma_3\mathbf{R}^T & 0 & 0 & \mathbf{R} \\ \mathbf{R} & 0 & 0 & \sigma_3\mathbf{R}^T \\ 0 & -\mathbf{R}^T & -\mathbf{R}\sigma_3 & 0 \end{bmatrix} \text{ для } P = (-)^{j \pm 1} \quad (3.13)$$

$$\mathbf{G} = \begin{bmatrix} 0 & (j+\sigma_\uparrow)\mathbf{R}^T & (j\sigma_3+\sigma_\uparrow)\mathbf{R} & 0 \\ \mathbf{R}(j+\sigma_\uparrow)\sigma_3 & 0 & 0 & \mathbf{R}^T(j\sigma_3+\sigma_\uparrow) \\ \mathbf{R}^T(j\sigma_3+\sigma_\uparrow) & 0 & 0 & \mathbf{R}(j+\sigma_\uparrow) \\ 0 & (j\sigma_3+\sigma_\uparrow)\mathbf{R} & (j+\sigma_\uparrow)\mathbf{R}^T & 0 \end{bmatrix} \quad (3.14)$$

$$\mathbf{H} = \begin{bmatrix} 0 & -\sigma_3\mathbf{R}^T & -\mathbf{R} & 0 \\ \mathbf{R}\sigma_3 & 0 & 0 & \mathbf{R}^T \\ \mathbf{R}^T & 0 & 0 & \mathbf{R}\sigma_3 \\ 0 & -\mathbf{R} & -\sigma_3\mathbf{R}^T & 0 \end{bmatrix} \text{ для } P = (-)^j. \quad (3.15)$$

Щоб описати потенціал взаємодії (2.10)–(2.14) у матричному представленні, залишається обчислити дію спінових операторів на біспінорі дублети. Для власних потенціалів одержимо:

$$\mathbf{S} = \begin{bmatrix} S & & 0 \\ & \Sigma & \\ 0 & & S \end{bmatrix} \quad \text{для } P = (-)^{j\pm 1}, \quad (3.16)$$

$$\mathbf{S} = \begin{bmatrix} \Sigma & & 0 \\ & S & \\ 0 & & S \\ & & & \Sigma \end{bmatrix} \quad \text{для } P = (-)^j, \quad (3.17)$$

де 2×2 -блоки S та Σ є такими:

i	1	2	3
$S_{(i)}$	I	$\sigma_1 \cdot \sigma_2$	$(\sigma_1 \cdot \mathbf{n})(\sigma_2 \cdot \mathbf{n})$
$S_{(i)}$	I	τ	$-\sigma_3$
$\Sigma_{(i)}$	I	I	$-R\sigma_3 R^T$

(3.18)

Для невласних потенціалів маємо:

$$\mathbf{T} = i \begin{bmatrix} T & & 0 \\ & -T^\dagger & \\ 0 & & -T^\dagger \\ & & & T \end{bmatrix} \quad \text{для } P = (-)^{j\pm 1}, \quad (3.19)$$

$$\mathbf{T} = i \begin{bmatrix} T^\dagger & & 0 \\ & -T & \\ 0 & & -T \\ & & & T^\dagger \end{bmatrix} \quad \text{для } P = (-)^j, \quad (3.20)$$

де 2×2 -блок T є таким:

i	1	2	3
$T_{(i)}$	$\sigma_1 \cdot \mathbf{n}$	$\sigma_2 \cdot \mathbf{n}$	$(\mathbf{n}, \sigma_1, \sigma_2)$
$T_{(i)}$	R	$-R\sigma_3$	$-2iR\sigma_\uparrow$

(3.21)

Отже, загальний потенціал має вигляд:

$$\mathbf{U} = \sum_{i=1}^3 \left(\Delta^{(i)} \mathbf{S}_{(i)} + \Omega^{(i)} \mathbf{T}_{(i)} \right). \quad (3.22)$$

Нагадаємо, що матриці $\Delta^{(i)}$ і $\Omega^{(i)}$ виду:

$$\Delta = \begin{bmatrix} U_{11} & 0 & 0 & W_{14} \\ 0 & U_{22} & W_{23} & 0 \\ 0 & * & W_{23} & U_{33} \\ * & W_{14} & 0 & 0 \\ & & & U_{44} \end{bmatrix}, \quad (3.23)$$

$$\Omega = \begin{bmatrix} 0 & W_{12} & W_{13} & 0 \\ * & W_{12} & 0 & W_{24} \\ * & W_{13} & 0 & W_{34} \\ 0 & * & * & 0 \\ & & & W_{24} & W_{34} & 0 \end{bmatrix}, \quad (3.24)$$

де $U_{\alpha\beta}$ — довільні дійсні, а $W_{\alpha\beta} = X_{\alpha\beta} + iY_{\alpha\beta}$ — комплексні функції r , становлять 3 власні і 3 невласні октети дійсних парціальних потенціалів.

Якщо $j = 0$, то в усіх 2×2 -блоках, що входять у матриці системи (3.3), слід залишити лише лівий верхній елемент, поклавши в ньому $j = 0$.

IV. РЕДУКЦІЯ РАДІЯЛЬНОЇ СИСТЕМИ ДО РІВНЯНЬ 2-ГО ПОРЯДКУ

Виявляється, що $\text{rank } \mathbf{H} = 4$ (2, якщо $j = 0$). Інакше кажучи, лише 4 з 8-ми рівнянь (3.3) (2 з 4-х) є диференціальними, решта — алгебраїчні співвідношення. Їх можна розділити з допомогою ортогонального перетворення (з групи $O(8)$):

$$\bar{\Phi} = \mathbf{O}\Phi, \quad \bar{\mathbf{H}} = \mathbf{O}\mathbf{H}\mathbf{O}^T \quad \text{і т. д.}, \quad (4.1)$$

що очевидно зберігає скалярний добуток (3.6) і явно виділяє нетривіальний мінор матриці \mathbf{H} . Запропонована в Додатку В матриця \mathbf{O} зводить \mathbf{H} до незалежного від парності P канонічного вигляду:

$$\bar{\mathbf{H}} = 2 \begin{bmatrix} \mathbf{J}^{(2)} & \mathbf{0} \\ \mathbf{0} & \mathbf{0} \end{bmatrix}, \quad (4.2)$$

де $\mathbf{J}^{(2)}$ — симплектична 4×4 -матриця

$$\mathbf{J}^{(2)} = \begin{bmatrix} 0 & \mathbf{I} \\ -\mathbf{I} & 0 \end{bmatrix}. \quad (4.3)$$

Вигляд інших перетворених матриць подано також у Додатку В. Тут лише зазначимо, що матриця загального потенціалу $\bar{\mathbf{U}}$ набирає діагонально-блочної форми:

$$\bar{\mathbf{U}} = \begin{bmatrix} U_{11} & W_{12} & W_{13} & W_{14} \\ * & W_{12} & U_{22} & W_{23} & W_{24} \\ * & * & * & W_{23} & U_{33} & W_{34} \\ * & * & * & W_{14} & W_{24} & W_{34} & U_{44} \end{bmatrix}, \quad (4.4)$$

де $U_{\alpha\beta}$ — дійсні, а $W_{\alpha\beta}$ — комплексні діагональні 2×2 -блоки, узагалі кажучи, різні для різних парностей. Загальна кількість дійсних парціальних потенціалів — 32 для $P = (-)^{j\pm 1}$ і 32 для $P = (-)^j$, однак серед них лише 48 незалежні.

Надалі зручно 8-вимірні вектори та матриці подавати в термінах 4-вимірних блоків:

$$\bar{\Phi} = \begin{bmatrix} \bar{\Phi}_1 \\ \bar{\Phi}_2 \end{bmatrix}, \quad \bar{\mathbf{V}} = \begin{bmatrix} \bar{\mathbf{V}}_{11} & \bar{\mathbf{V}}_{12} \\ \bar{\mathbf{V}}_{21} & \bar{\mathbf{V}}_{22} \end{bmatrix} \quad (4.5)$$

і т. д. (що вже фактично здійснено в (4.2)). У цих термінах система (3.3) набирає вигляду:

$$2\mathbf{J}^{(2)}\bar{\Phi}'_1 + \bar{\mathbf{V}}_{11}\bar{\Phi}_1 + \bar{\mathbf{V}}_{12}\bar{\Phi}_2 = 0, \quad (4.6)$$

$$\bar{\mathbf{V}}_{21}\bar{\Phi}_1 + \bar{\mathbf{V}}_{22}\bar{\Phi}_2 = 0. \quad (4.7)$$

Виключивши $\bar{\Phi}_2$ з (4.6) за допомогою (4.7), отримаємо систему диференціальних рівнянь для 4-вектора $\bar{\Phi}_1$:

$$\left\{ \mathbf{J}^{(2)} \frac{d}{dr} + \mathbf{V}^\perp(r, E, j) \right\} \bar{\Phi}_1(r) = 0, \quad (4.8)$$

де

$$\mathbf{V}^\perp = (\bar{\mathbf{V}}_{11} - \bar{\mathbf{V}}_{12} \mathbf{\Lambda} \bar{\mathbf{V}}_{21})/2, \quad \mathbf{\Lambda} = [\bar{\mathbf{V}}_{22}]^{-1}, \quad (4.9)$$

а 4-вектор $\bar{\Phi}_2$ визначається тоді з алгебраїчного співвідношення $\bar{\Phi}_2 = -\mathbf{\Lambda} \bar{\mathbf{V}}_{21} \bar{\Phi}_1$.

Тепер представляємо 4-вектор $\bar{\Phi}_1$ у 2+2-блочному записі:

$$\bar{\Phi}_1(r) = \begin{bmatrix} \Phi_1 \\ \Phi_2 \end{bmatrix}, \quad \mathbf{V}^\perp = \begin{bmatrix} V_{11} & V_{12} \\ V_{21} & V_{22} \end{bmatrix}, \\ \mathbf{\Lambda} = \begin{bmatrix} \Lambda_{11} & \Lambda_{12} \\ \Lambda_{21} & \Lambda_{22} \end{bmatrix}, \quad (4.10)$$

виключаємо Φ_2 і приходимо до системи диференціальних рівнянь 2-го порядку для 2-вектора Φ_1 :

$$L_1(E) \Phi_1 \quad (4.11) \\ = \left\{ \left(\frac{d}{dr} + V_{12} \right) [V_{22}]^{-1} \left(\frac{d}{dr} - V_{21} \right) + V_{11} \right\} \Phi_1 = 0.$$

З означення матриці \mathbf{V}^\perp (4.10), (4.9) та вигляду її складових (B.7), (B.8) і (4.5) впливає, що її блок V_{22} є діагональним. Це дає змогу спростити систему (4.11) до шредингероподібного вигляду, зручного в застосуваннях. Для цього насамперед покладімо:

$$\tilde{\Phi}_1 = \Phi_1 / \sqrt{V_{22}}, \quad \tilde{L}_1(E) = \sqrt{V_{22}} L_1(E) \sqrt{V_{22}}, \quad (4.12)$$

де квадратний корінь із матриці обчислюється поелементно. Рівняння (4.11) набирає вигляду $\tilde{L}_1(E) \tilde{\Phi}_1 = 0$, де

$$\tilde{L}_1(E) = \left(\frac{d}{dr} + M \right) \left(\frac{d}{dr} - M^\dagger \right) + Z, \quad (4.13) \\ Z = \sqrt{V_{22}} V_{11} \sqrt{V_{22}} + \\ + \frac{1}{2} \left(M \frac{V'_{22}}{V_{22}} + \frac{V'_{22}}{V_{22}} M^\dagger \right) + \frac{1}{2} \frac{V''_{22}}{V_{22}} - \frac{3}{4} \left(\frac{V'_{22}}{V_{22}} \right)^2, \\ M = \sqrt{V_{22}} V_{12} / \sqrt{V_{22}} \quad (4.14)$$

Представимо тепер перший член оператора (4.13) так:

$$\left(\frac{d}{dr} + M \right) \left(\frac{d}{dr} - M^\dagger \right) \\ = \left(\frac{d}{dr} + A \right)^2 - B^2 - B' - [A, B], \quad (4.15)$$

де A та B — відповідно антиермітова та ермітова частини M :

$$A = \frac{1}{2} (M - M^\dagger) = -A^\dagger, \quad B = \frac{1}{2} (M + M^\dagger) = B^\dagger. \quad (4.16)$$

Якщо M ермітова, то оператор (4.13) не містить 1-ї похідної. В іншому разі спробуємо усунути її перетворенням:

$$\bar{\Phi}_1 = C^{-1} \tilde{\Phi}_1, \quad \bar{L}_1 = C^{-1} \tilde{L}_1 C, \quad (4.17)$$

таким, що

$$C^{-1} \left(\frac{d}{dr} + A \right) C \equiv \frac{d}{dr} + C^{-1} (C' + AC) = \frac{d}{dr}. \quad (4.18)$$

Звідси отримуємо рівняння на C :

$$C' + AC = 0, \quad (4.19)$$

що має розв'язок:

$$C = \text{Тexp} \left(- \int dr A \right) = \text{Тexp} \left(- \frac{1}{2} \int dr (M - M^\dagger) \right). \quad (4.20)$$

З антиермітовості A впливає унітарність C .

Тепер оператор

$$\bar{L}_1(E) = \frac{d^2}{dr^2} - W, \quad (4.21)$$

$$W = C^\dagger (B^2 + B' + [A, B] - Z) C \quad (4.22)$$

має матрично-двочленний вигляд, як і відповідне рівняння.

Якщо замість Φ_2 із системи (4.8) виключити Φ_1 , прийдемо до системи для 2-вектора Φ_2 :

$$L_2(E) \Phi_2 \quad (4.23) \\ = \left\{ \left(\frac{d}{dr} - V_{21} \right) [V_{11}]^{-1} \left(\frac{d}{dr} + V_{12} \right) + V_{22} \right\} \Phi_2 = 0.$$

Оскільки блок V_{11} , узагалі кажучи, не є діагональним (на відміну від V_{22}), то система (4.23) виявляється складнішою, ніж (4.11). Вона, однак, теж може бути корисною в застосуваннях.

V. ПОШУКИ ТОЧНО РОЗВ'ЯЗУВАНИХ МОДЕЛЕЙ

Система 2-го порядку (4.11) є зручною для пошуку потенціалів, що допускають точні розв'язки 2ЧРД. Кілька випадків, розв'язуваних при певних значеннях j і P , вказано в [17]; два цілком розв'язувані приклади — 2-частинкові діраківські осцилятори [33, 34] з лінійним за r потенціалом. Нас цікавлять їх узагальнення.

Зауважимо, що у вільночастинковому випадку матриця V_{22} , що входить у ліву частину системи (4.11), є сталою. Будемо вимагати, щоб і у випадку взаємодії V_{22} не залежала від r (інакше система (4.11) дуже ускладнюється). Достатніми для цього умовами на блок-матричні елементи потенціалу (4.4) є:

$$U_{22} = U_{33} = W_{23} = W_{24} = W_{34} = 0. \quad (5.1)$$

Ураховуючи розклад потенціалу \mathbf{U} на октети (3.22)–(3.24), (B.9)–(B.18), знаходимо найзагальніший його вигляд, коли умови (5.1) виконуються для всіх P . Він параметризується 8-ма дійсними парціальними потенціалами U_α ($\alpha = 1, \dots, 8$) та 5-ма комплексними $W^{(i)}$ ($i = 1, 2, 3$), W_2 і W_4 , пов'язаними з потенціалами (B.11) і (B.16) так:

$$\begin{aligned}
 U_\alpha^{(1)} &= U_\alpha, & U_\alpha^{(2)} &= -U_\alpha, & U_\alpha^{(3)} &= 0, & \alpha &= 1, \dots, 8, \\
 W_1^{(i)} &= W^{(i)}, & & & & & i &= 1, 2, 3, \\
 W_2^{(1)} &= -iW_2, & W_2^{(2)} &= iW_2, & W_2^{(3)} &= W_1, \\
 W_3^{(1)} &= -W^{(2)}, & W_3^{(2)} &= -W^{(1)}, & W_3^{(3)} &= W^{(3)}, \\
 W_4^{(1)} &= iW_1, & W_4^{(2)} &= -iW_1, & W_4^{(3)} &= -W_2.
 \end{aligned} \tag{5.2}$$

Розклавши комплексні потенціали на дійсні та уявні частини: $W = X + iY$, отримаємо 18 дійсних парціальних потенціалів, що параметризують повний потенціал U . У термінах матриць Дірака він має таку форму:

$$\begin{aligned}
 U &= \frac{1}{2} \{U_1(1 + \beta_1\beta_2) + U_2(1 - \beta_1\beta_2) + U_3(\beta_1 + \beta_2) + U_4(\beta_1 - \beta_2) \\
 &+ [U_5(1 + \beta_1\beta_2) + U_6(1 - \beta_1\beta_2) - U_7i(\beta_1 + \beta_2) + U_8i(\beta_1 - \beta_2)] \gamma_1^5 \gamma_2^5 \} (1 - \boldsymbol{\sigma}_1 \cdot \boldsymbol{\sigma}_2) \\
 &+ \left\{ X^{(1)} + Y^{(1)}i\beta_1\beta_2 - [X^{(2)} + Y^{(2)}i\beta_1\beta_2] \gamma_1^5 \gamma_2^5 \right\} (\boldsymbol{\alpha}_1 - \boldsymbol{\alpha}_2) \cdot \mathbf{n} + \left\{ X^{(3)} + Y^{(3)}i\beta_1\beta_2 \right\} (\gamma_1^5 + \gamma_2^5) (\boldsymbol{\sigma}_1 \times \boldsymbol{\sigma}_2) \cdot \mathbf{n} \\
 &- i \left\{ [X_1 + Y_1i\beta_1\beta_2] \beta_2 \gamma_2^5 + [X_2 + Y_2i\beta_1\beta_2] \beta_1 \gamma_1^5 \right\} (\boldsymbol{\sigma}_1 - \boldsymbol{\sigma}_2 + i\boldsymbol{\alpha}_1 \times \boldsymbol{\alpha}_2) \cdot \mathbf{n},
 \end{aligned} \tag{5.3}$$

а в матричному представленні (4.4):

$$\bar{U} = \begin{bmatrix} u_1 \sigma_\uparrow & \mathfrak{f} & w_1 \sigma_\uparrow & w_2 \sigma_\uparrow \\ * & \mathfrak{f} & 0 & 0 \\ \mathfrak{f} & 0 & 0 & 0 \\ * & w_1 \sigma_\uparrow & 0 & 0 \\ * & w_2 \sigma_\uparrow & 0 & 0 \\ * & \sigma_\uparrow & 0 & 0 \\ * & \sigma_\uparrow & 0 & 0 \\ * & \sigma_\uparrow & 0 & 0 \\ w_2 \sigma_\uparrow & 0 & 0 & u_2 \sigma_\uparrow \end{bmatrix}, \tag{5.4}$$

де $\mathfrak{f} = f_\uparrow \sigma_\uparrow + f_\downarrow \sigma_\downarrow$,

$$\begin{aligned}
 u_1 &= 4(U_1 + U_5), & u_2 &= 4(U_1 - U_5), \\
 w_1 &= 4(W_1 - W_2), & w_2 &= 4(U_3 + iU_7), \\
 f_\uparrow &= 4W^{(3)} - 2i(W^{(1)} - W^{(2)}), \\
 f_\downarrow &= -2i(W^{(1)} + W^{(2)}) & \text{для } P &= (-)^{j\pm 1}, \\
 u_1 &= 4(U_2 + U_6), & u_2 &= 4(U_2 - U_6), \\
 w_1 &= 4(W_1^* + W_2^*), & w_2 &= 4(U_4 + iU_8), \\
 f_\uparrow &= -4W^{(3)*} + 2i(W^{(1)*} - W^{(2)*}), \\
 f_\downarrow &= 2i(W^{(1)*} + W^{(2)*}) & \text{для } P &= (-)^j.
 \end{aligned} \tag{5.5}$$

Тепер систему (4.11) можна записати так:

$$\begin{aligned}
 &\left\{ \frac{d^2}{dr^2} + \frac{1}{2} (F - F^*) \frac{d}{dr} + \frac{1}{4} \left(E - \frac{\nu^2}{E} \right) \left[E - \frac{\mu^2}{E} - \left(u_1 + \frac{|w_1|^2 - \mu^2}{E} + \frac{|w_2 + \mu|^2}{E - u_2} \right) \sigma_\uparrow - \frac{2C}{Er} (w_1 \sigma_+ + w_1^* \sigma_-) \right] \right. \\
 &\left. - \frac{1}{4} |F|^2 - \frac{1}{2} F' - \frac{1}{2r} (F_\uparrow + F_\uparrow^*) \sigma_\uparrow - \frac{C^2}{r^2} + \frac{\nu C}{2Er} \left[(F_\uparrow + F_\downarrow^*) \sigma_+ + (F_\downarrow + F_\uparrow^*) \sigma_- \right] \right\} \Phi_1 = 0,
 \end{aligned} \tag{5.6}$$

де $\mu = m_\pm i$ і $\nu = m_\mp$ для $P = \mp(-)^j$, а всі операції (диференціювання, комплексне спряження тощо) над діагональною матрицею

$$F = F_\uparrow \sigma_\uparrow + F_\downarrow \sigma_\downarrow = \mathfrak{f} + \frac{\nu}{E} w_1 \sigma_\uparrow \tag{5.7}$$

здійснюються поелементно. Підстановка

$$\Phi_1 = \exp \left\{ -\frac{1}{2} \int dr (F - F^*) \right\} \Psi \tag{5.8}$$

усуває 1-ші похідні з рівнянь (5.6) і зводить їх до системи

$$\begin{aligned}
 &\left\{ \frac{d^2}{dr^2} + \frac{1}{4} \left[\left(E - \frac{\nu^2}{E} \right) \left(E - u_1 - \frac{y_1^2}{E} - \frac{|w_2 + \mu|^2}{E - u_2} \right) - g_\uparrow^2 - 2 \left(\frac{d}{dr} + \frac{2}{r} \right) g_\uparrow + 2 \frac{\nu}{E} \left(g_\uparrow + \frac{d}{dr} + \frac{2}{r} \right) x_1 - x_1^2 \right] \sigma_\uparrow \right. \\
 &+ \frac{1}{4} \left[\left(E - \frac{\nu^2}{E} \right) \left(E - \frac{\mu^2}{E} \right) - g_\downarrow^2 - 2 \frac{d}{dr} g_\downarrow \right] \sigma_\downarrow - \frac{C^2}{r^2} - \frac{C}{2r} \left[x_1 - \frac{\nu}{E} (g_\uparrow + g_\downarrow + i(h_\uparrow - h_\downarrow)) \right] \sigma_+ \\
 &\left. - \frac{C}{2r} \left[x_1 - \frac{\nu}{E} (g_\uparrow + g_\downarrow - i(h_\uparrow - h_\downarrow)) \right] \sigma_- \right\} \Psi = 0;
 \end{aligned} \tag{5.9}$$

тут функції (5.5) зображено через їхні дійсні та уявні частини:

$$f = g + ih, \quad w = x + iy. \quad (5.10)$$

Потенціали u, x, y, g і h по-різному означені для різних парностей. Надалі величини, що стосуються $P = (-)^{j\pm 1}$, позначатимемо індексом "+", а для $P = (-)^j$ — індексом "-" (якщо ж розглядається довільний випадок або парність не суттєва, ці індекси упускатимуться). Тоді серед 20-ти функцій $u_{i\pm}, x_{i\pm}, y_{i\pm}$ ($i = 1, 2$), $g_{\uparrow\pm}$ і $h_{\uparrow\pm}$ лише 18 є незалежними, оскільки, згідно з (5.5) і (5.10), $g_{\uparrow+} = g_{\uparrow-} \equiv g_{\uparrow}$ і $h_{\uparrow+} = -h_{\uparrow-} \equiv h_{\uparrow}$. Ці функції еквівалентно представляють 18 парціальних потенціалів U, X і Y , що входять у вираз (5.3), і саме їх зручно підбирати, будуючи точно розв'язані моделі. При цьому будемо прагнути до однієї з двох можливостей: коли система (5.9) розщеплюється на два незалежні рівняння або коли її можна діагоналізувати.

А. Сім'я гармонічних осциляторів

Покладімо:

$$u_1 = u_2 = w_1 = w_2 = 0, \quad (5.11)$$

що з урахуванням співвідношень (5.5) дає:

$$U_{\alpha} = 0, \quad \alpha = 1, \dots, 8, \quad (5.12)$$

$$W_1 = W_2 = 0. \quad (5.13)$$

Отже, власна частина потенціалу (5.4) зникає, а невласна — частково обмежується. Додатково обмежимо її умовою:

$$g_{\uparrow}^2 = g_{\downarrow}^2, \quad (5.14)$$

що дає 4 можливості:

$$\begin{aligned} \text{Ia). } & g_{\uparrow} = g_{\uparrow+} = g_{\uparrow-}, & \text{Ib). } & g_{\uparrow} = g_{\uparrow+} = -g_{\uparrow-}, \\ \text{Ic). } & g_{\uparrow} = -g_{\uparrow+} = g_{\uparrow-}, & \text{Id). } & g_{\uparrow} = -g_{\uparrow+} = -g_{\uparrow-}. \end{aligned} \quad (5.15)$$

Почнімо з можливості Ia. З рівностей (5.5) отримаємо умови:

$$\text{Ia). } \quad Y^{(1)} \equiv Y, \quad Y^{(2)} = X^{(3)} = 0, \quad (5.16)$$

де Y а також решта парціальних потенціалів $X^{(1)}, X^{(2)}$ і $Y^{(3)}$ можуть бути довільними функціями. Покладімо тепер:

$$Y = ar, \quad X^{(2)} = br, \quad Y^{(3)} = cr, \quad (5.17)$$

де a, b і c — сталі.

Це відповідає повному потенціалові:

$$U = \left\{ X^{(1)}/r - b\gamma_1^5\gamma_2^5 + [ia + c(1 + \alpha_1 \cdot \alpha_2)]\beta_1\beta_2 \right\} (\alpha_1 - \alpha_2) \cdot \mathbf{r}. \quad (5.18)$$

Тоді система (5.9) набуває вигляду:

$$\left\{ \frac{d^2}{dr^2} + \frac{1}{4} \left(E - \frac{m_{\pm}^2}{E} \right) \left(E - \frac{m_{\mp}^2}{E} \right) - D - a^2 r^2 - \frac{C^2}{r^2} \right\} \Psi = 0, \quad (5.19)$$

де сталу ермітову матрицю

$$D = \begin{bmatrix} 3a & -2\frac{m_{\mp}C}{E}[a + i(c \pm b)] \\ -2\frac{m_{\pm}C}{E}[a - i(c \pm b)] & a \end{bmatrix} \quad \text{для } P = \mp(-)^j \quad (5.20)$$

можна очевидно діагоналізувати до власних значень

$$\text{Ia). } \quad \begin{aligned} d_{\uparrow\pm} &= 2a + \text{sgn } a \sqrt{a^2 + 4\frac{m_{\mp}^2 C^2}{E^2}[a^2 + (b \pm c)^2]}, \\ d_{\downarrow\pm} &= 2a - \text{sgn } a \sqrt{a^2 + 4\frac{m_{\mp}^2 C^2}{E^2}[a^2 + (b \pm c)^2]}. \end{aligned} \quad (5.21)$$

Тепер система (5.19) розщеплюється на два рівняння гармонічних осциляторів, і спектр визначається співвідношеннями (5.21) та

$$\frac{1}{4} \left(E - \frac{m_{\pm}^2}{E} \right) \left(E - \frac{m_{\mp}^2}{E} \right) - d_{\uparrow\pm} = |a|(2n + 3), \quad n = j + 2n_r, \quad (5.22)$$

де $n_r = 0, 1, \dots$ — радіальне квантове число. Для заданих j та n_r маємо 4 рівняння, що дають 4 додатні значення енергії $E_{\uparrow\pm}$.

Аналогічно можна розглянути й решту можливостей Ib)–Id), указаних у (5.15). У цих випадках парціальні потенціали визначаються співвідношеннями (5.12), (5.17) й однією з альтернатив:

$$\begin{aligned} \text{Ib). } & Y^{(1)} = Y^{(2)} = X^{(3)} = \frac{1}{2}Y, \\ \text{Ic). } & Y^{(1)} = Y^{(2)} = -X^{(3)} = \frac{1}{2}Y, \\ \text{Id). } & Y^{(2)} = Y, \quad Y^{(1)} = X^{(3)} = 0. \end{aligned} \quad (5.23)$$

Хвильові рівняння мають вигляд (5.19) з дещо іншими матрицями D, які зводяться до таких власних значень:

$$\begin{aligned} \text{Ib). } & d_{\uparrow+} \text{ як в Ia} \quad (\text{див. (5.21)}), \\ & d_{\uparrow-} = -a \mp 2 \operatorname{sgn} a \sqrt{a^2 + \frac{m_+^2 C^2}{E^2} (b-c)^2}, \\ \text{Ic). } & d_{\uparrow+} = -a \mp 2 \operatorname{sgn} a \sqrt{a^2 + \frac{m_-^2 C^2}{E^2} (b+c)^2}, \\ & d_{\uparrow-} \text{ як в Ia}, \\ \text{Id). } & d_{\uparrow+} \text{ як в Ic}, \quad d_{\uparrow-} \text{ як в Ib}. \end{aligned} \quad (5.24)$$

Із цих виразами для $d_{\uparrow\pm}$ рівняння (5.22) дає спектр решти моделей Ia–Id.

Ірраціональні рівняння (5.22), (5.21) зводяться до алгебраїчних рівнянь 4-го степеня. Вони мають, узагалі кажучи, громіздкі розв’язки, серед яких є і нефізичні, зокрема від’ємні — подібно до 1-частинкового рівняння Дірака.

Для безмасових частинок спектри описуються формулою:

$$E_{\uparrow\pm}^2 = 4[|a|(2n+3) + d_{\uparrow\pm}], \quad (5.25)$$

де сталі $d_{\uparrow\pm}$ вже не залежать від E і для різних випадків є такими:

$$\begin{aligned} \text{Ia). } & d_{\uparrow+} = d_{\uparrow-} = 2a \pm a, \\ \text{Ib). } & d_{\uparrow+} \text{ як в Ia}, \quad d_{\uparrow-} = -a \mp 2a, \\ \text{Ic). } & d_{\uparrow+} \text{ як } d_{\uparrow-} \text{ в Ib}, \quad d_{\uparrow-} \text{ як } d_{\uparrow+} \text{ в Ia}, \\ \text{Id). } & d_{\uparrow+} = d_{\uparrow-} \text{ як } d_{\uparrow-} \text{ в Ib}. \end{aligned} \quad (5.26)$$

Отже, у площині (E^2, j) рівні енергії $E_{\uparrow\pm}$ лягають на паралельні прямі — так звані лінійні траєкторії Реже — з параметром нахилу $8|a|$. Головних траєкторій (що відповідають $n_r = 0$) є 4, і кожна з них породжує дочірні траєкторії (з $n_r = 1, 2, \dots$), так що всіх їх зручно класифікувати за сукупністю квантових чисел $n_r \uparrow\pm$. Однак, залежно від моделі, різні стани з фіксованим j можуть бути виродженими, так що відповідні траєкторії можуть збігатися одна з одною. Приклади траєкторій Реже для безмасових моделей Ia–Id при додатній та від’ємній константах взаємодії a показані на рис. 1 (де для наочності вироджені траєкторії дещо зміщені одна щодо іншої). При $b = c = 0$ і $m_1 = m_2$ моделі Ia і Id зводяться до двох відомих версій дво-частинкових діраківських осциляторів [33] і [34] відповідно.

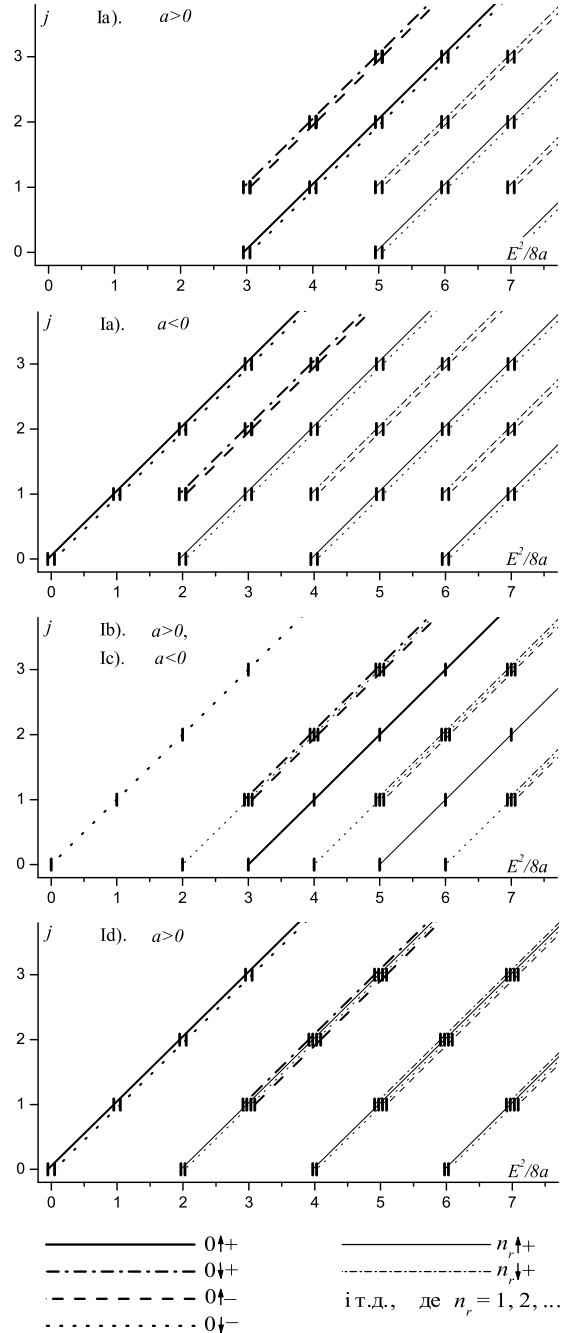


Рис. 1. Траєкторії Реже в безмасових моделях Ia–Id.

Іншу сім’ю осциляторів можна отримати, якщо покласти:

$$u_1 = u_2 = y_1 = w_2 = g_{\uparrow} = 0, \quad (5.27)$$

що з урахуванням співвідношень (5.5) дає (5.12) і

$$Y_1 = Y_2 = X^{(3)} = 0, \quad Y^{(1)} = Y^{(2)} = \frac{1}{2}Y. \quad (5.28)$$

Крім цього, покладімо:

$$g_{\uparrow}^2 = x_{1+}^2 = x_{1-}^2, \quad (5.29)$$

що знову дає 4 можливості:

$$\begin{aligned}
 \text{Па). } g_{\downarrow} &= x_{1+} = x_{1-}, & \text{Пб). } g_{\downarrow} &= x_{1+} = -x_{1-}, \\
 \text{Пс). } g_{\downarrow} &= -x_{1+} = x_{1-}, & \text{Пд). } g_{\downarrow} &= -x_{1+} = -x_{1-},
 \end{aligned} \tag{5.30}$$

тобто

$$\begin{aligned}
 \text{Па). } X_1 &= \frac{1}{2}Y, & X_2 &= 0, \\
 \text{Пб). } X_1 &= 0, & X_2 &= -\frac{1}{2}Y, \\
 \text{Пс). } X_1 &= 0, & X_2 &= \frac{1}{2}Y, \\
 \text{Пд). } X_1 &= -\frac{1}{2}Y, & X_2 &= 0.
 \end{aligned} \tag{5.31}$$

Разом з вибором парціальних потенціалів (5.16) це приводить до ще 4-х гармонічних осциляторів, що описуються рівняннями (5.19) з деякими матрицями D , а їх спектри — співвідношеннями (5.22) з відповідними $d_{\uparrow\pm}$.

Розгляньмо тут лише безмасові частинки. Тоді всі моделі дають спільний спектр:

$$\begin{aligned}
 a > 0 : & & a < 0 : \\
 E_{\uparrow\pm}^2 &= 4a(j + 4n_r + 3), & E_{\uparrow\pm}^2 &= 4|a|(3j + 4n_r + 3), \\
 E_{\downarrow\pm}^2 &= 4a(3j + 4n_r + 4), & E_{\downarrow\pm}^2 &= 4|a|(j + 4n_r + 2).
 \end{aligned} \tag{5.32}$$

На відміну від попереднього сімейства моделей, тут траєкторії не паралельні: 2 головні і їхні дочірні мають параметр нахилу $4|a|$, інші ж — $12|a|$.

Нарешті, можна побудувати комбіновані моделі осциляторів, поклавши $u_1 = u_2 = y_1 = y_2 = 0$ і $x_{1-} = g_{\uparrow+} = g_{\downarrow}$, $x_{1+} = 0$, $g_{\uparrow-} = 0$ або $x_{1+} = g_{\uparrow-} = g_{\downarrow}$, $x_{1-} = 0$, $g_{\uparrow+} = 0$. Це веде до вибору парціальних потенціалів (5.12), (5.17),

$$X_1 = Y^{(2)} = \frac{1}{4}Y, \quad Y^{(1)} = \frac{3}{4}Y, \quad Y_1 = Y_2 = 0, \tag{5.33}$$

і однієї з двох можливостей:

$$X_2 = X^{(3)} = \pm \frac{1}{4}Y. \tag{5.34}$$

У цих випадках одна з головних (разом з дочірніми) траєкторій (для безмасових частинок) матиме нахил $4|a|$, друга — $12|a|$, а решта дві — $8|a|$.

В. Спектри легких мезонів

Як відомо, спектри легких мезонів (що складаються з u , d і s кварків) мають характерні риси, які після деякої ідеалізації вкладаються в подану нижче картину [41].

1. Мезонні стани лягають у площині (E^2, j) на прямі, відомі як траєкторії Редже.
2. Траєкторії Редже паралельні одна до одної з універсальним параметром нахилу $\sigma \approx 1.15 \text{ GeV}^2$.
3. Нерелятивістська класифікація мезонів як $(n^{2s+1}\ell_j)$ -станів кварк-антикваркової системи є адекватною: поряд з j “хорошими” квантовими числами можна вважати орбітальне число ℓ , сумарний спін системи s та радіальне число n_r (або по’язане з ним $n = n_r + \ell + 1$).

4. Спектри є ℓs -виродженими, тобто залежать від ℓ та n_r , але не від j чи s .
5. Стани з різними ℓ і n_r характеризуються додатковим (випадковим) виродженням, що приводить до “вежової” структури спектра [42].

Детальніше твердження 3 означає, що у площині (E^2, ℓ) мезонні стани також утворюють прямі: існує 4 головні ($n_r = 0$) траєкторії Редже, що відповідають синглетним ($s = 0$) та триплетним ($s = 1$) сімействам станів, і кожна головна траєкторія породжує низку дочірніх ($n_r = 1, 2, \dots$). Тоді твердження 4 значить, що у площині (E^2, ℓ) усі головні траєкторії вироджуються в одну (це ж стосується й дочірніх траєкторій з фіксованим n_r). Існування випадкового виродження мало б свідчити про функційну залежність E^2 від ℓ та n_r через їхню суму з сумірними коефіцієнтами [42]. У літературі найчастіше використовують масові формули з $(\ell + 2n_r)$ -залежністю, характерною для осциляторних [43–47] та деяких струнних [48] моделей мезонів. Менш відома $(\ell + n_r)$ -залежність; вона з’являється в запропонованих у [49, 50] феноменологічних формулах для опису π - і ρ -траєкторій, а також у потенціальній моделі безспінових кварків із взаємодією векторною типу [51, 52]. Обидві можливості пролюстровані на рис. 2, де відповідні траєкторії Редже показано в координатах (E^2, j) і (E^2, ℓ) .

Зауважимо, що ідеалізована картина характеризує відносно розташування траєкторій на цих площинах. Їх абсолютне розташування залежить від ароматового складу мезонів, і для $(\pi-\rho)$ -сімейства воно приблизно таке, як на рис. 2. Зі збільшенням мас складових кварків траєкторії зміщуються вправо (в ділянку більших значень E^2).

Реальні спектри мезонів відрізняються від ідеалізованої картини. По-перше, відомо обмежена кількість мезонів, і не всі вони надійно ідентифікуються зі станами ідеалізованих спектрів. Далі, траєкторії не цілком прямі, особливо в нижній частині спектра [48, 53, 54], а середнє чи асимптотичне (при великих j) значення параметра нахилу σ залежить від ароматового складу мезонів [47, 54]. ℓs -виродження є наближеним — порядку $5 \div 6\%$ від σ — і тлумачиться як результат ss -розщеплення [41]. Вежова структура встановлена ненадійно (тобто лише для окремих груп станів) і також є наближеною [48]. Тому, будуючи потенціальні моделі, зручно орієнтуватися на ідеалізовану картину як на нульове наближення з можливістю подальшого введення різних поправок.

Більшість рис ідеалізованої структури мезонних спектрів притаманна спектрам осциляторних моделей Ia–Id, розглянутих на початку попереднього підрозділу. Справді, у безмасовому випадку траєкторії є прямими й паралельними. Хоча моделі мають вільночастинкові нерелятивістські межі, однак їхні зв’язані стани формально можна класифікувати як нерелятивістські: рівні $E_{\uparrow+}$ з парністю $P = (-)^j$ починаються з $j = 0$, як і синглетні стани ϕ^A , тоді як $E_{\downarrow+}$ починаються з $j = 1$ — як триплетні стани ϕ^0 ; аналогічно рівні $E_{\uparrow-}$ та $E_{\downarrow-}$ з $P = -(-)^j$ починаються з $j = 0$ та $j = 1$ і відповідають триплетним станам ϕ^- та ϕ^+ .

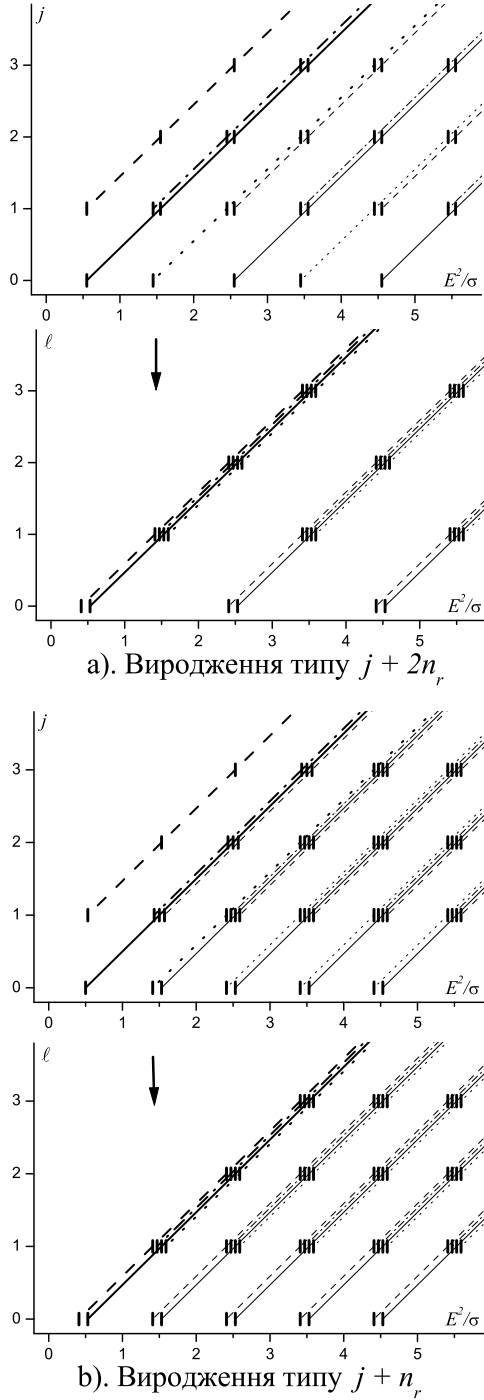


Рис. 2. Траєкторії Редже ідеалізованих мезонних спектрів.

тут

$$k_{\uparrow} = \sqrt{(\sqrt{C^2 + \varkappa^2 \pm \varkappa})^2 + \chi^2 - 1/2} \stackrel{j \rightarrow \infty}{\approx} j \pm \varkappa + O(1/j). \quad (5.39)$$

Нагадаємо, що для різних парностей функції $x_{1\pm}$, а в цьому разі (5.35) параметри \varkappa_{\pm} можна вибрати незалежно. Тому модель містить 4-параметричний потенціал вигляду (5.3), де

$$\text{III).} \quad Y^{(1)} = ar + \frac{\chi}{r}, \quad Y^{(2)} = \frac{1/2}{r}, \quad X_1 = \frac{\varkappa_1}{r}, \quad X_2 = \frac{\varkappa_2}{r}, \quad (5.40)$$

Тому траєкторії $\uparrow+$ можна приписати синглетні квантові числа $s = 0, \ell = j$, а траєкторіям $\downarrow+$ і $\downarrow-$ — триплетні числа $s = 1, \ell = j$ і $s = 1, \ell = j \pm 1$ відповідно.

Усі моделі приводять як до виродження траєкторій, так і до випадкового виродження станів (вежової структури) з тією чи іншою кратністю — залежно від моделі та вибору її параметрів. Однак характер виродження інший, ніж в ідеалізованій картині. Зокрема, ні одна з моделей не відтворює ℓs -виродження траєкторій (риса 4) та відповідний до нього порядок розміщення траєкторій (порівн. рис. 1 та 2): в ідеалізованій картині мали б збігатися траєкторії $n_r \uparrow+$ і $n_r \downarrow+$ (а у площині (E^2, ℓ) — усі 4 сімейства траєкторій $n_r \uparrow_{\pm}, n_r = 0, 1, \dots$); насправді ж збігаються $n_r \downarrow+$ і $n_r \downarrow-$ (які мали би бути розщеплені на величину σ).

Спробуємо побудувати модель, яка хоча б наближено відтворювала спектри легких мезонів. Для того, щоб у площині (E^2, ℓ) усі траєкторії були повністю виродженими за спіновими станами, необхідно, щоб існував додатковий інтеграл руху — повний спін системи $s = \frac{1}{2}(\sigma_1 + \sigma_2)$ (або інший інтеграл, що в нерелятивістській межі переходить у цю величину) [41, 53]. Однак навіть за відсутності взаємодії 2-частинковий гамільтоніян Дірака не комутує з s . Тому вимогу 4 можна задовольнити лише наближено.

Покладімо в рівняннях (5.9)

$$g_{\uparrow} = 2 \left(ar + \frac{\chi \mp 1/2}{r} \right), \quad x_1 = \frac{4\varkappa}{r} \quad (5.35)$$

(решта функцій дорівнюють нулеві). Тоді вони набувають вигляду:

$$\Psi'' + \left\{ \frac{1}{4}E^2 - 2a(\chi+1) - a^2r^2 - (C^2 + \chi^2 - \frac{1}{4} + 2\varkappa K)/r^2 \right\} \Psi = 0, \quad (5.36)$$

де коефіцієнт біля $1/r^2$ містить недіагональну ермітову матрицю:

$$K = \begin{bmatrix} 2\varkappa & C \\ C & 0 \end{bmatrix}. \quad (5.37)$$

Після її діагоналізації система розщеплюється на два рівняння типу осциляторних, що дають спектр

$$E_{\uparrow}^2 = 8|a|(k_{\uparrow} + 2n_r + 3/2) + 8a(\chi + 1); \quad (5.38)$$

$\varkappa_1 = \frac{1}{2}(\varkappa_+ + \varkappa_-)$, $\varkappa_2 = \frac{1}{2}(\varkappa_+ - \varkappa_-)$. Решта парціальних потенціалів дорівнюють нулеві (окрім хіба що довільного калібрувального $X^{(1)}$).

Роль “кулонівських” членів у потенціалах (5.40) можна окреслити так: вони деформують траєкторії Редже, залишаючи їх лише асимптотично (при $j \rightarrow \infty$) прямими; потенціал $Y^{(2)}$ зводить асимптотики до купи, X_1 та X_2 розщеплюють їх симетрично (вліво і вправо) на $|a|\varkappa_{\pm}$, а 2-й доданок $Y^{(1)}$ зміщує всі асимптотики разом на $8a\chi$ вліво.

При виборі $\varkappa_+ = 0$, $\varkappa_- = 1$ траєкторії є асимптотично виродженими у площині (E^2, ℓ) ; див. рис. 3. Таким чином, наближено відтворюється властивість 4 ідеалізованих спектрів мезонів. У масивному випадку система (5.9) ускладнюється:

$$\Psi'' + \left\{ \frac{1}{4} \left(E - \frac{\nu^2}{E} \right) \left(E - \frac{\mu^2}{E} \right) - 2a(\chi + 1) - a^2 r^2 - \frac{C^2 + \chi^2 - 1/4}{r^2} - 2K \left[\frac{\varkappa}{r^2} - \frac{\nu}{E} \left(a + \frac{\chi}{r^2} \right) \right] \right\} \Psi = 0, \quad (5.41)$$

але її також можна діагоналізувати до 2-х рівнянь осциляторного типу. Спектральна умова при цьому випадку не розв’язується аналітично. Тому спектр подаємо в неявному вигляді, зручному для розв’язування ітераційним методом:

$$E_{\uparrow} = \sum_{a=1}^2 \sqrt{m_a^2 + 2|a|[k_{\uparrow} + 2n_r + \frac{1}{2} - \chi + (\varkappa \pm \sqrt{C^2 + \varkappa^2})\nu/E_{\uparrow}]}, \quad (5.42)$$

$$k_{\uparrow} = \sqrt{(\sqrt{C^2 + \varkappa^2} \pm \varkappa)^2 + \chi^2 - 2(\varkappa \pm \sqrt{C^2 + \varkappa^2})\chi\nu/E_{\uparrow} - \frac{1}{2}};$$

тут $\nu = m_1 \mp m_2$ і $\varkappa = \varkappa_{\pm} = \varkappa_1 \pm \varkappa_2$ для енергій $E_{\uparrow\pm}$ станів з різною парністю $P = \pm(-)^j$.

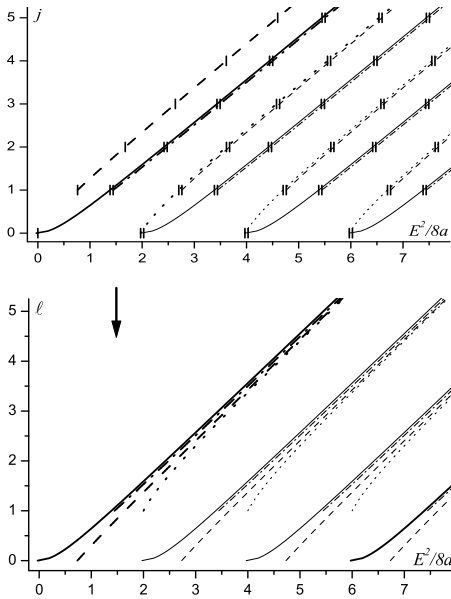


Рис. 3. Траєкторії Редже безмасової моделі III при $\varkappa_1 = 1/2$, $\varkappa_2 = -1/2$, $\chi = 0$. Позначення такі ж, як на рис. 2.

4 довільні параметри a , χ , \varkappa_1 , \varkappa_2 (а в масивному випадку — ще й маси m_1 , m_2) можна підібрати так, щоб якомога краще відтворити реальні спектри мезонів. На рис. 4 показано спектр легких мезонів (π - ρ)-сімейства, побудований за даними [55], і відповідні траєкторії Редже, отримані при оптимальних значеннях параметрів: $a = 0.145 \text{ GeV}^2$, $\chi = 0.746$, $\varkappa_1 = 0.177$, $\varkappa_2 = -0.262$, $m_1 = 0.139 \text{ GeV}$, $m_2 = 0.058 \text{ GeV}$. Отримані траєкторії дещо викривлені, особливо в нижній ділянці, тому оптимальні значення \varkappa_1 і \varkappa_2 помітно від-

різняються від значень ($\varkappa_1 = 1/2$, $\varkappa_2 = -1/2$), що забезпечують асимптотичну виродженість траєкторій. Очевидно, що спостережувані рівні непогано лягають на траєкторії Редже. Однак частина радially збуджень не попадає на дочірні траєкторії, особливо у їх нижній ділянці. Однією з причин цієї невідповідності може бути специфічний характер викривленості модельних траєкторій: траєкторії $n_r \uparrow \pm$ мають додатну кривину, тоді як $n_r \downarrow \pm$ — від’ємну. Інша причина — асимптотичне випадкове виродження типу $\ell + 2n_r$, що дає замало дочірніх траєкторій. Очевидно, наприклад, що станам $\pi(1300)$, $\pi_2(2100)$ і $a_1(1640)$ бракує “своїх” дочірніх траєкторій типу $\uparrow +$ і $\downarrow +$, а стани $\rho(2265)$ чи $\rho(2280)$ не попадають на траєкторію $2\downarrow$ — через її викривленість. З іншого боку, викривленість траєкторії $0\uparrow +$ добре узгоджується із реальними станами π_0 , $\mathbf{b}_1(1235)$ і т. д. Зауважимо також, що отримані оптимальні величини m_1 і m_2 та їх різниці значно перевищують загальноприйняті значення для струмових мас u і d кварків ($m \approx 5 \div 7 \text{ MeV}$), і значно ближчі до т. зв. конститuentних мас ($m \approx 350 \text{ MeV}$), що використовуються в нерелятивістських моделях. Тут їх слід розглядати лише як феноменологічні параметри, а не спостережувані величини.

VI. ПСЕВДОПЕРТУРБАТИВНИЙ МЕТОД РОЗКЛАДІВ ЗА $1/j$

Точно розв’язувана модель легких мезонів, побудована в попередньому розділі, базується на суперпозиції лінійного та кулонівського двоферміонних потенціалів із складною спіно-кутовою залежністю. Фізична

інтерпретація такого потенціалу не є очевидною. Крім того, він задається невластним оператором (див. розділ II) і, отже, зникає в нерелятивістській межі. Тому модель придатна до опису лише легких мезонів, що вважаються істотно релятивістськими об'єктами.

Важливим, із фізичного погляду, завданням є побудова універсальної релятивістської моделі, яка допускає теоретико-польову інтерпретацію взаємодії, а в нерелятивістській межі зводиться до потенціальної моделі, придатної для опису важких мезонів. Прийнято вважати, що кандидатом на цю роль може бути релятивістська модель із короткосяжною векторною й далекосяжною скалярною взаємодіями [10, 11, 15, 20, 56, 57], які в нерелятивістській межі зводяться до потенціалу $U_{nr}(r) = u_v(r) + u_s(r)$. Найчастіше (і найпростіше) вибирають

$$u_v(r) = -\alpha/r, \quad (6.1)$$

$$u_s(r) = ar, \quad (6.2)$$

де “біжуча константа” α змінюється від $\alpha = 0.27$ для важких мезонів до $\alpha = 0.8$ для легких, а стала $a = 0.25 \div 0.3 \text{ GeV}^2$ є універсальною [56].

Оскільки задовільної зі всіх поглядів універсальної моделі ще немає, варто розглянути кілька прикладів у межах 2ЧРД.

У літературі використовують різні потенціали для опису двоферміонних взаємодій скалярного й векторного типу. Ось приклади векторних потенціалів:

$$U_v^{(st)}(r) = u(r), \quad (6.3)$$

$$U_v^{(EG)}(r) = \{1 - \alpha_1 \cdot \alpha_2\}u(r), \quad (6.4)$$

$$U_v^{(B)}(\mathbf{r}) = \{1 - \frac{1}{2}\alpha_1 \cdot \alpha_2\}u(r) + \frac{1}{2}(\mathbf{n} \cdot \alpha_1)(\mathbf{n} \cdot \alpha_2)ru'(r), \quad (6.5)$$

де $u' = du/dr$. Потенціал $U_v^{(st)}$ враховує лише статичну компоненту 4-векторного поля-носія взаємодії (див. [5]). Він входить у 2ЧРД як добавка до енергії E і збігається з його нерелятивістською межею $u(r)$. У потенціалі $U_v^{(EG)}$ (див. [15, 23]), що для кулонівського випадку вперше запропували Едінгтон і Гант [3, 4], врахована релятивістська кінематика векторної взаємодії. В узагальненні $U_v^{(B)}$ потенціалу Брайта [1] взято до уваги також члени, що описують ефекти запізнення [23].

Два різні скалярні потенціали:

$$U_s^{(Y)}(r) = \beta_1\beta_2u(r), \quad (6.6)$$

$$U_s^{(min)}(r) = \frac{1}{2}(\beta_1 + \beta_2)u(r), \quad (6.7)$$

походять із двох різних типів спарювання скалярного поля-медіатора із ферміонними полями. Потенціал $U_s^{(Y)}$ виникає із взаємодії Юкави (див. [21, 23]), тоді як $U_s^{(min)}$ відповідає так званому “мінімальному” спарюванню: в 2ЧРД він з'являється як добавка до мас спокою частинок [11–14].

У двоферміонних рівняннях квантово-польового походження члени взаємодії множаться на 2-частинкові проєкційні оператори

$$\begin{aligned} \Pi^{(\tau)}(\mathbf{p}) &= \Lambda_1^{(+)}(\mathbf{p})\Lambda_2^{(+)}(-\mathbf{p}) + \tau\Lambda_1^{(-)}(\mathbf{p})\Lambda_2^{(-)}(-\mathbf{p}) \\ \tau &= 0, \pm 1, \end{aligned} \quad (6.8)$$

побудовані в термінах 1-частинкових додатно- та від'ємно-енергетичних проєкторів:

$$\begin{aligned} \Lambda_a^{(\pm)}(\mathbf{p}) &= \frac{1}{2}\{1 \pm h_a(\mathbf{p})/\omega_a(\mathbf{p})\}, \\ \omega_a(\mathbf{p}) &= \sqrt{m_a^2 + \mathbf{p}^2}. \end{aligned} \quad (6.9)$$

У різних квантово-польових рівняннях використовують проєкційні оператори з різними значеннями τ : Браун і Рейвенгол [58] ввели в рівняння Брайта проєктори на додатно-енергетичні стани ($\tau = 0$), у рівнянні Салпетера $\tau = -1$ [25], а в одній з версій квазіпотенціальних рівнянь Матвеев, Мурадян і Тавхелідзе використали проєктор з $\tau = 1$ [27]. Проєкційні оператори (6.8) є нелокальними в координатному представленні, і, взагалі кажучи, порушують ермітовість членів взаємодії. Однак у статичному наближенні (тобто у припущенні $\mathbf{p} = \mathbf{0}$) проєкції $\Pi(\mathbf{0})U_s(r)$ (для обох $U_s^{(Y)}$ і $U_s^{(min)}$) є локальними й ермітовими і породжують ще дві версії скалярного потенціалу [29]:

$$U_s^{(BR)}(r) = \frac{1}{4}(1 + \beta_1)(1 + \beta_2)u(r), \quad (6.10)$$

$$U_s^{(MMT)}(r) = \frac{1}{2}(1 + \beta_1\beta_2)u(r); \quad (6.11)$$

далі будемо їх називати (за походженням проєкторів) потенціалами Брауна–Рейвенгола та Матвеева–Мурадяна–Тавхелідзе відповідно.

Тут не розглядаємо проєктування векторних потенціалів, оскільки це питання є предметом глибшого вивчення й виходить за межі статті (див. [59], де в межах теорії збурень досліджують і порівнюють різні проєкції потенціалу Брайта).

Довільну суперпозицію скалярних та векторних потенціалів (6.3)–(6.7), (6.10), (6.11) можна використати в 2ЧРД для побудови релятивістської потенціальної моделі. Однак усі вони не є точно розв'язуваними, а деякі з них — математично погано означені. З огляду на калькулятивні труднощі лише 2ЧРД з лінійним скалярним мінімальним потенціалом (6.7), (6.2) детально досліджено аналітично й чисельно і обчислено спектри [12–14].

Далі пропонуємо метод розкладів за $1/j$, що дає змогу з єдиного погляду розглянути й інші моделі, побудовані на базі 2ЧРД. З цією метою спочатку розглянемо простіший приклад релятивістського рівняння, яке описує взаємодію двох скалярних частинок.

А. Метод $1/\ell$ для рівняння Тодорова

Розглянемо рівняння типу Тодорова, що описує релятивістську систему 2-х взаємодіючих скалярних частинок у системі відліку центра мас: [57, 60, 61]:

$$\{\mathbf{p}^2 + U(r, E) - b(E)\} \Psi(\mathbf{r}) = 0. \quad (6.12)$$

Тут $\mathbf{p} = -i\nabla$, квазіпотенціал $U(r, E)$ залежить від енергії системи E , а функція $b(E)$ енергії системи E є такою:

$$b(E) = \frac{1}{4}E^2 - \frac{1}{2}(m_1^2 + m_2^2) + \frac{1}{4}(m_1^2 - m_2^2)^2/E^2,$$

$$\text{і є оберненою до } E(b) = \sum_{a=1}^2 \sqrt{m_a^2 + b}. \quad (6.13)$$

Відповідне радіальне рівняння набирає вигляду

$$\left\{ \frac{d^2}{dr^2} - W(r, E, \ell) \right\} \Psi(r) = 0, \quad (6.14)$$

де ℓ — орбітальне квантове число,

$$W(r, E, \ell) = U(r, E) + \ell(\ell + 1)/r^2 - b(E). \quad (6.15)$$

Розгляньмо рух системи в околі класичної стійкої колової орбіти. За даного значення $\ell > 0$ радіус $r_c = r_c(\ell)$ цієї орбіти й відповідна енергія $E_c = E_c(\ell)$ задовольняють умови:

$$W(r_c, E_c, \ell) = 0, \quad (6.16)$$

$$\partial W(r_c, E_c, \ell)/\partial r_c = 0, \quad (6.17)$$

$$\partial^2 W(r_c, E_c, \ell)/\partial r_c^2 > 0; \quad (6.18)$$

тут $\partial W(r_c, E_c, \ell)/\partial r_c \equiv \partial W(r, E, \ell)/\partial r \Big|_{\substack{r=r_c \\ E=E_c}}$ і т. д.

Покладімо $r = r_c + \Delta r$ та $E = E_c + \Delta E$, де Δr та ΔE є малими, і розкладімо функцію $W(r_c + \Delta r, E_c + \Delta E, \ell)$ у степеневий ряд за Δr і ΔE . Тоді, згідно з умовами (6.16)–(6.18), головний член цього розкладу представляє потенціал гармонічного осцилятора, а інші (малі) члени — ангармонічні поправки. Якщо умови (6.16)–(6.18) виконуються для довільних великих значень ℓ , то шляхом певного перенормування Δr і ΔE можна виокремити незалежну від ℓ задачу про гармонічний осцилятор (як нульове наближення) та ангармонічні збурення, що зникають при $\ell \rightarrow \infty$. У цьому й полягає ідея методу розкладів за $1/\ell$. Застосування псевдопертурбативної техніки цього типу [35–39] до нашого випадку має дві особливості: рівняння (6.14) становить нелінійну спектральну задачу, і точний розв'язок рівнянь (6.16)–(6.17) може виявитися невідомим або занадто громіздким для практичних обчислень. З огляду на це пропонуємо модифікацію методу.

Уведемо параметр $\lambda = 1/\sqrt{\ell}$, що є малим при великих ℓ . Оскільки точний вигляд функцій $r_c(\ell)$ і

$E_c(\ell)$, узагалі кажучи, невідомий, передусім визначимо асимптотики $r_c \sim r_\infty(\lambda)$, $b_c = b(E_c) \sim b_\infty(\lambda)$ при $\lambda \rightarrow 0$, які можна знайти значно простіше. Тоді функції $r_c(\ell)$ та $E_c(\ell)$ запишемо так:

$$\begin{aligned} r_c(\lambda) &= r_\infty(\lambda)\rho(\lambda), \\ b_c(\lambda) &= b_\infty(\lambda)\mu(\lambda), \end{aligned} \quad (6.19)$$

$$\begin{aligned} \rho(\lambda) &= 1 + \lambda\rho^{(1)} + \lambda^2\rho^{(2)} + \dots, \\ \mu(\lambda) &= 1 + \lambda\mu^{(1)} + \lambda^2\mu^{(2)} + \dots \end{aligned} \quad (6.20)$$

де коефіцієнти розкладу $\rho^{(n)}$, $\mu^{(n)}$, $n = 1, 2, \dots$ (а тому й аналітичні функції $\rho(\lambda)$ та $\mu(\lambda)$) визначаються крок за кроком з умов:

$$\bar{W}(\rho, \mu, \lambda) = 0, \quad \partial \bar{W}(\rho, \mu, \lambda)/\partial \rho = 0 \quad (6.21)$$

та $\partial^2 \bar{W}(\rho, \mu, \lambda)/\partial \rho^2 > 0$; тут безрозмірна функція $\bar{W}(\rho, \mu, \lambda)$ утворена шляхом підстановки (6.19)–(6.20) в (6.15) та перенормування з метою забезпечення її регулярності при $\lambda \rightarrow 0$:

$$\bar{W}(\rho, \mu, \lambda) = \lambda^4 r_\infty^2 W[r_\infty \rho, E(b_\infty \mu), 1/\lambda^2]. \quad (6.22)$$

Перейдімо тепер до безрозмірних змінної $r \rightarrow \xi$ та спектрального параметра $b(E) \rightarrow \epsilon$:

$$r = r_\infty(\lambda)[\rho(\lambda) + \lambda\xi],$$

$$b = b_\infty(\lambda)[\mu(\lambda) + \lambda^2\epsilon], \quad (6.23)$$

у термінах яких рівняння (6.14) набирає вигляду:

$$\left\{ \frac{d^2}{d\xi^2} - \frac{1}{\lambda^2} w(\xi, \epsilon, \lambda) \right\} \psi(\xi) = 0, \quad (6.24)$$

де

$$\psi(\xi) = \Psi[r_\infty(\rho + \lambda\xi)] \quad (6.25)$$

і

$$w(\xi, \epsilon, \lambda) = \bar{W}(\rho + \lambda\xi, \mu + \lambda^2\epsilon, \lambda). \quad (6.26)$$

Якщо функції $\rho(\lambda)$ та $\mu(\lambda)$ задовольняють умови (6.21), то рівняння (6.24) є несингулярним при $\lambda \rightarrow 0$. Це твердження залишається правильним, якщо в перетворенні (6.23), замість точних виразів для $\rho(\lambda)$ та $\mu(\lambda)$, використати їхні перші наближення:

$$\rho(\lambda) = 1 + \lambda\rho^{(1)}, \quad \mu(\lambda) = 1 + \lambda\mu^{(1)}. \quad (6.27)$$

Справді, скориставшись позначеннями

$$\frac{\partial \bar{W}^{(0)}}{\partial \mu} = \lim_{\lambda \rightarrow 0} \frac{\partial \bar{W}}{\partial \mu} = \frac{\partial \bar{W}}{\partial \mu}(\rho=1, \mu=1, \lambda=0)$$

і т. д., маємо:

$$\begin{aligned} \frac{1}{\lambda^2} w(\xi, \epsilon, \lambda) &= \frac{1}{\lambda^2} \bar{W} [\rho(\lambda) + \lambda\xi, \mu(\lambda) + \lambda^2\epsilon, \lambda] = \frac{1}{\lambda^2} \bar{W}^{(0)} + \frac{1}{\lambda} \left\{ \frac{\partial \bar{W}^{(0)}}{\partial \rho} (\rho^{(1)} + \xi) + \frac{\partial \bar{W}^{(0)}}{\partial \mu} (\mu^{(1)} + \lambda\epsilon) + \frac{\partial \bar{W}^{(0)}}{\partial \lambda} \right\} \\ &+ \frac{1}{2} \frac{\partial^2 \bar{W}^{(0)}}{\partial \rho^2} (\rho^{(1)} + \xi)^2 + \frac{1}{2} \frac{\partial^2 \bar{W}^{(0)}}{\partial \mu^2} [\mu^{(1)}]^2 + \frac{1}{2} \frac{\partial^2 \bar{W}^{(0)}}{\partial \lambda^2} + \frac{\partial^2 \bar{W}^{(0)}}{\partial \rho \partial \mu} (\rho^{(1)} + \xi) \mu^{(1)} + \frac{\partial^2 \bar{W}^{(0)}}{\partial \rho \partial \lambda} (\rho^{(1)} + \xi) \\ &+ \frac{\partial^2 \bar{W}^{(0)}}{\partial \mu \partial \lambda} \mu^{(1)} + O(\lambda). \end{aligned} \quad (6.28)$$

Сингулярних членів у цьому розкладі немає, якщо

$$\bar{W}^{(0)} = 0, \quad \frac{\partial \bar{W}^{(0)}}{\partial \rho} = 0, \quad (6.29)$$

$$\frac{\partial \bar{W}^{(0)}}{\partial \mu} \mu^{(1)} + \frac{\partial \bar{W}^{(0)}}{\partial \lambda} = 0. \quad (6.30)$$

Крім цього, члени нульового порядку, лінійні за ξ , видають, якщо

$$\frac{\partial^2 \bar{W}^{(0)}}{\partial \rho^2} \rho^{(1)} + \frac{\partial^2 \bar{W}^{(0)}}{\partial \rho \partial \mu} \mu^{(1)} + \frac{\partial^2 \bar{W}^{(0)}}{\partial \rho \partial \lambda} = 0. \quad (6.31)$$

Зауважимо, що рівняння (6.29) та (6.30)–(6.31) становлять собою умови (6.21) у 0-му та 1-му порядках за λ відповідно. Тому умови (6.29) задовольняються тотожно, а (6.30)–(6.31) є лінійними рівняннями для знаходження $\rho^{(1)}$ та $\mu^{(1)}$.

У 0-му наближенні рівняння (6.24) зводяться до задачі про гармонічний осцилятор:

$$\left\{ \frac{d^2}{d\xi^2} + \kappa\epsilon - \nu - \omega^2 \xi^2 \right\} \psi(\xi) = 0 \quad (6.32)$$

де

$$\kappa = -\frac{\partial \bar{W}^{(0)}}{\partial \mu}, \quad \omega^2 = \frac{1}{2} \frac{\partial^2 \bar{W}^{(0)}}{\partial \rho^2}, \quad (6.33)$$

$$\begin{aligned} \nu &= -\frac{1}{2} \frac{\partial^2 \bar{W}^{(0)}}{\partial \rho^2} [\rho^{(1)}]^2 + \frac{1}{2} \frac{\partial^2 \bar{W}^{(0)}}{\partial \mu^2} [\mu^{(1)}]^2 \\ &+ \frac{1}{2} \frac{\partial^2 \bar{W}^{(0)}}{\partial \lambda^2} + \frac{\partial^2 \bar{W}^{(0)}}{\partial \mu \partial \lambda} \mu^{(1)}, \end{aligned} \quad (6.34)$$

$$\begin{aligned} \mu^{(1)} &= -\frac{\partial^2 \bar{W}^{(0)} / \partial \lambda}{\partial^2 \bar{W}^{(0)} / \partial \mu}, \\ \rho^{(1)} &= -\frac{1}{\partial^2 \bar{W}^{(0)} / \partial \rho^2} \left\{ \frac{\partial^2 \bar{W}^{(0)}}{\partial \rho \partial \mu} \mu^{(1)} + \frac{\partial^2 \bar{W}^{(0)}}{\partial \rho \partial \lambda} \right\}. \end{aligned} \quad (6.35)$$

Члени вищого порядку в розкладі (6.28) можна тлумачити як збурення осцилятора. В загальному вони залежать від спектрального параметра ϵ і можуть бути враховані з допомогою відповідної пертурбативної процедури [61]. В усьому іншому процедура є близькою до описаної в [35–39].

Власні значення 0-го наближення

$$\epsilon_{n_r} = [\omega(2n_r + 1) + \nu] / \kappa, \quad (6.36)$$

де $n_r = 0, 1, \dots$ – радіальне квантове число, уточнюються пертурбативними поправками вищих порядків. Тоді, використовуючи 2-гу рівність (6.23) в (6.13), отримуємо енергетичний спектр системи.

Для прикладу розглянемо рівняння Тодорова з мінімально включеними векторним (6.1) та скалярним (6.2) потенціалами. Функція $W(r, E, \ell)$ у цьому разі має вигляд [57]:

$$W(r, E, \ell) = [m_E + u_s(r)]^2 - [\epsilon_E - u_v(r)]^2 + \ell(\ell + 1)/r^2, \quad (6.37)$$

де

$$m_E = \frac{m_1 m_2}{E}, \quad \epsilon_E = \frac{E^2 - m_1^2 - m_2^2}{2E}. \quad (6.38)$$

Обчисливши асимптотики $r_\infty(\lambda)$ та $b_\infty(\lambda)$ (див. Додаток С), отримуємо формулу для спектра в 0-му наближенні:

$$\begin{aligned} E^2 &= 8a \left(\ell + 2n_r + 3/2 - \sqrt{2}\alpha \right) \\ &+ 2 \left(m_1^2 + m_2^2 + \sqrt{2} m_1 m_2 \right), \end{aligned} \quad (6.39)$$

що збігається з отриманою в [57] з менш формалізованих евристичних міркувань.

В. Метод 1/ж для 2ЧРД

Повернімося до радіально зредукованого 2ЧРД в матрично-двочленному вигляді, заданого оператором (4.21). Зобразивши хвильову функцію $\bar{\Phi}_1$ (4.17) та матрицю W через їх компоненти:

$$\bar{\Phi}_1 = \begin{bmatrix} \Psi_\uparrow \\ \Psi_\downarrow \end{bmatrix}, \quad W = \begin{bmatrix} W_\uparrow & Y \\ Y^* & W_\downarrow \end{bmatrix}, \quad (6.40)$$

отримуємо пару зв'язаних рівнянь 2-го порядку:

$$\frac{d^2}{dr^2} \Psi_\uparrow(r) - W_\uparrow(r, E, j) \Psi_\uparrow(r) = Y(r, E, j) \Psi_\downarrow(r), \quad (6.41)$$

$$\frac{d^2}{dr^2} \Psi_\downarrow(r) - W_\downarrow(r, E, j) \Psi_\downarrow(r) = Y^*(r, E, j) \Psi_\uparrow(r). \quad (6.42)$$

Застосуємо до неї псевдопертурбативний метод, узявши за параметр розкладу $\lambda = 1/\sqrt{j}$.

Припустімо тимчасово, що правою частиною системи (6.41)–(6.42) можна знехтувати, так що рівняння розчеплюються. Тоді до кожного з рівнянь можна застосувати схему, викладену у попередньому підрозділі. Означуємо радіуси та енергії колових орбіт умовами:

$$W_i(r_i, E_i, j) = 0, \quad \frac{\partial W_i(r_i, E_i, j)}{\partial r} = 0, \quad (6.43)$$

$\partial^2 W_i(r_i, E_i, j)/\partial r^2 > 0$, $i = \uparrow, \downarrow$. Тоді виділяємо асимптотику цих функцій, залежних від λ :

$$\begin{aligned} r_i(\lambda) &= r_{i\infty}(\lambda)\rho_i(\lambda), \\ b_i(\lambda) &= b_{i\infty}(\lambda)\mu_i(\lambda), \end{aligned} \quad (6.44)$$

$$\begin{aligned} \rho_i(\lambda) &= 1 + \lambda\rho_i^{(1)} + \lambda^2\rho_i^{(2)} + \dots, \\ \mu_i(\lambda) &= 1 + \lambda\mu_i^{(1)} + \lambda^2\mu_i^{(2)} + \dots, \end{aligned} \quad (6.45)$$

і, використовуючи рівності

$$\begin{aligned} r &= r_{i\infty}(\lambda)[\rho_i(\lambda) + \lambda\xi_i], \\ b &= b_{i\infty}(\lambda)[\mu_i(\lambda) + \lambda^2\epsilon_i], \quad i = \uparrow, \downarrow, \end{aligned} \quad (6.46)$$

переперформулюємо рівняння (6.41) у термінах безрозмірної змінної ξ_\uparrow і спектрального параметра ϵ_\uparrow , тоді як рівняння (6.42) — в термінах ξ_\downarrow та ϵ_\downarrow . Нарешті здійснюємо розклад рівнянь за степенями λ і розв'яжемо незалежно одне від одного.

Перш ніж ураховувати актуальне спарювання рівнянь (6.41)–(6.42), зауважимо, що змінні ξ_\uparrow та ξ_\downarrow не є незалежними одна від одної, так само, як і спектральні параметри ϵ_\uparrow and ϵ_\downarrow . Тому ми повинні вибрати спільні для обох рівнянь змінні.

Виберім спочатку $\xi = \xi_\uparrow$, $\epsilon = \epsilon_\uparrow$. Система (6.41)–(6.42) зводиться до вигляду:

$$\psi_\uparrow''(\xi) - \frac{1}{\lambda^2}w_\uparrow(\xi, \epsilon, \lambda)\psi_\uparrow(\xi) = y(\xi, \epsilon, \lambda)\psi_\downarrow(\xi), \quad (6.47)$$

$$\psi_\downarrow''(\xi) - \frac{1}{\lambda^2}w_\downarrow(\xi, \epsilon, \lambda)\psi_\downarrow(\xi) = y^*(\xi, \epsilon, \lambda)\psi_\uparrow(\xi), \quad (6.48)$$

де

$$\psi_i(\xi) = \Psi_i[r_{i\infty}(\rho_i + \lambda\xi)], \quad i = \uparrow, \downarrow, \quad (6.49)$$

$$w_i(\xi, \epsilon, \lambda) = \lambda^4 r_{i\infty}^2 W_i[r_{i\infty}(\rho_i + \lambda\xi), E(b_{i\infty}(\mu_i + \lambda^2\epsilon)), 1/\lambda^2], \quad (6.50)$$

$$y(\xi, \epsilon, \lambda) = \lambda^2 r_{i\infty}^2 Y[r_{i\infty}(\rho_i + \lambda\xi), E(b_{i\infty}(\mu_i + \lambda^2\epsilon)), 1/\lambda^2]. \quad (6.51)$$

Функції (6.50)–(6.51) є регулярними при $\lambda \rightarrow 0$. Навіть більше, загальна структура функцій w_\uparrow є такою ж як і w в підрозділі А розділу VI (див р-ня (6.26), (6.28)). Зокрема $w_\uparrow = O(\lambda^2)$. Тому рівняння (6.47) є подібним до (6.24) (але з правою частиною). Воно допускає подібний розклад за λ .

Функція ж w_\downarrow (на відміну від w_\uparrow) може мати іншу поведінку при $\lambda \rightarrow 0$. Тут ми розглянемо три випадки.

1). Нехай $r_{\downarrow\infty} \neq r_{\uparrow\infty}$ і $b_{\downarrow\infty} \neq b_{\uparrow\infty}$. Тоді $w_\downarrow = O(\lambda^{-n})$, $n \geq 0$ (за винятком дуже спеціальних випадків, які ми тут не розглядатимемо). У цьому разі рівняння (6.48) можна формально розв'язати стосовно $\psi_\downarrow(\xi)$:

$$\begin{aligned} \psi_\downarrow &= - \left(1 - \frac{\lambda^2}{w_\downarrow} \frac{\partial^2}{\partial \xi^2}\right)^{-1} \frac{\lambda^2}{w_\downarrow} y^* \psi_\uparrow \\ &= - \sum_{n=0}^{\infty} \left(\frac{\lambda^2}{w_\downarrow} \frac{\partial^2}{\partial \xi^2}\right)^n \frac{\lambda^2}{w_\downarrow} y^* \psi_\uparrow. \end{aligned} \quad (6.52)$$

Це представлення веде до втрати тих розв'язків для ψ_\downarrow , що не є аналітичними за λ . Однак у пертурбативних процедурах такі розв'язки відкидаються а рїогі. Підстановка виразу (6.52) у праву частину (6.47) дає змогу вилучити ψ_\downarrow з (6.47) і таким чином отримати замкнуте рівняння для ψ_\uparrow . Структура та розгляд цього рівняння є таким же ж, як і рівняння (6.24). Навіть більше, із (6.52) очевидно, що принаймні 0-й та 1-й члени розкладу ψ_\downarrow за λ зникають. Тому права частина рівняння (6.47) не дає внеску в нижні порядки

пертурбативної процедури. В 0-му наближенні маємо осциляторне рівняння.

2). Нехай $r_{\downarrow\infty} = r_{\uparrow\infty}$ і $b_{\downarrow\infty} = b_{\uparrow\infty}$, але $\rho_\downarrow - \rho_\uparrow = O(\lambda)$ і $\mu_\downarrow - \mu_\uparrow = O(\lambda)$. Тоді $w_\downarrow = O(\lambda)$. Оскільки $\lambda^2/w_\downarrow = O(\lambda)$, використання пертурбативного розкладу (6.52) в рівнянні (6.47) є також законним. Єдина відмінність від випадку **1** полягає в тому, що права частина рівняння (6.47) може давати внесок уже в 1-му порядку за λ .

В обох випадках, розглянутих вище, ми ввели безрозмірну змінну ξ_\uparrow і отримали замкнуте рівняння на власні значення (яке ми називатимемо *задачею* \uparrow) для хвильової функції $\psi_\uparrow(\xi_\uparrow)$ і спектрального параметра ϵ_\uparrow . Подібно можемо ввести змінну ξ_\downarrow і сформулювати рівняння на власні значення (яке ми називатимемо *задачу* \downarrow) для хвильової функції $\psi_\downarrow(\xi_\downarrow)$ і спектрального параметра ϵ_\downarrow . На перший погляд, видається, що обидві *задачі* \uparrow і \downarrow еквівалентні й дають однаковий спектр (у термінах енергії E). Насправді ж ці *задачі* доповнюють одна одну. Це очевидно з рівностей (6.46), що ведуть до співвідношення:

$$\epsilon_\downarrow - \epsilon_\uparrow = \frac{1}{\lambda^2} \left\{ \frac{b_{\uparrow\infty}}{b_{\downarrow\infty}} \mu_\uparrow - \mu_\downarrow \right\} + \left\{ \frac{b_{\uparrow\infty}}{b_{\downarrow\infty}} - 1 \right\} \epsilon_\uparrow. \quad (6.53)$$

Справді, в обох випадках **1** і **2** $|\epsilon_\downarrow - \epsilon_\uparrow| \rightarrow \infty$ якщо $\lambda \rightarrow 0$. Це означає, що довільний рівень енергії E , обчислений з використанням власного значення $\epsilon_\uparrow^{(0)}$ 0-го наближення (осциляторної *задачі* \uparrow (з використанням формул (6.46) і (6.13)), не можна обчислити за допомогою будь-якого скінченного власного значення

$\epsilon_{\downarrow}^{(0)}$ задачі \downarrow і навпаки. Поправки вищого порядку до $\epsilon_{\uparrow}^{(0)}$ (або $\epsilon_{\downarrow}^{(0)}$) є малими і якісно не змінюють картини. Тому різні задачі породжують різні гілки енергетичного спектра вихідної системи рівнянь. З цього погляду наступний спеціальний випадок істотно відрізняється від двох попередніх.

3). Нехай $r_{\downarrow\infty} = r_{\uparrow\infty}$ і $b_{\downarrow\infty} = b_{\uparrow\infty}$, але $\rho_{\downarrow} - \rho_{\uparrow} = O(\lambda^n)$ і $\mu_{\downarrow} - \mu_{\uparrow} = O(\lambda^n)$, $n \geq 2$. Тоді $w_{\downarrow} = O(\lambda^2)$. Обидва рівняння (6.47) і (6.48) мають подібну структуру і можуть розглядатися на рівних правах. Тут принагідними спільними змінними є ξ і ϵ , означені рівностями (6.23) і (6.27). У 0-му наближенні отримуємо зв'язану пару хвильових рівнянь (на відміну від випадків **1** і **2**, де ми мали одне р-ня). У фізично змістовних випадках (див. наступний підрозділ) вони мають вигляд:

$$\{d^2/d\xi^2 + \kappa\epsilon - \nu_{\uparrow} - \omega^2\xi^2\} \psi_{\uparrow}(\xi) = \chi\psi_{\downarrow}(\xi), \quad (6.54)$$

$$\{d^2/d\xi^2 + \kappa\epsilon - \nu_{\downarrow} - \omega^2\xi^2\} \psi_{\downarrow}(\xi) = \chi\psi_{\uparrow}(\xi), \quad (6.55)$$

де $\chi = \lim_{\lambda \rightarrow 0} y = \text{const}$, а параметри ν_{\uparrow} , κ і ω пов'язані з функціями w_{\uparrow} рівностями типу (6.33) і (6.34). Рівняння (6.54), (6.55) можна очевидно звести до пари подібних рівнянь, але з новими параметрами $\tilde{\nu}_{\uparrow} = \{\nu_{\uparrow} + \nu_{\downarrow} \pm \sqrt{(\nu_{\uparrow} - \nu_{\downarrow})^2 + 4\chi^2}\}/2$ і $\tilde{\chi} = 0$, в результаті чого отримуємо пару розчеплених рівнянь типу (6.32). Власні значення ϵ , що відповідають 1-му та 2-му рівнянням, розділені скінченною сталою $\tilde{\nu}_{\uparrow} - \tilde{\nu}_{\downarrow}$. Тому відповідні стани зміщуються у вищих наближеннях пертурбативної процедури.

С. Траєкторії Редже для 2ЧРД зі скалярно-векторними потенціалами

Розглянемо кілька прикладів 2ЧРД із лінійним скалярним та кулонівським векторним потенціалами, поданими на початку розділу VI. Користуючись викладеним вище псевдопертурбативним методом, обчислимо для них траєкторії Редже в 0-му наближенні. Для цього спочатку знайдемо асимптотики функцій $r_c(j)$ та $E_c(j)$ (див. Додаток С), а потім, скориставшись комп'ютерною системою аналітичних обчислень Maple 7, здійснюємо доволі громіздкі розвинення за $\lambda = 1/\sqrt{j}$.

Взаємодія Юкави. Для 2ЧРД з лінійним потенціалом Юкави (6.6), (6.2) отримуємо:

$$E_{\uparrow\pm}^2 = 4a(j + 2n_r + 3/2) + 6(m_1^2 + m_2^2) + 8\sqrt{2}m_1m_2. \quad (6.56)$$

Усі траєкторії є асимптотично прямими й паралельними одна до одної. Навіть більше, для значення параметра $a = 0.25 \div 0.3 \text{GeV}^2$ (типового для нерелятивістських моделей з лінійним потенціалом (6.2)) отримуємо параметр нахилу траєкторій $\sigma = 4a = 1 \div 1.2 \text{GeV}^2$, що узгоджується з реальним нахилом $\sigma \approx 1.15 \text{GeV}^2$ для легких мезонів. Таким чином, модель відтворює властивості 1 і 2 мезонної спектроскопії, вказані у підрозділі В розділу V. Спектр (6.56) має випадкове виродження ($j + 2n_r$)-типу (властивість 5 про вежову

структуру), однак не має ℓs -виродження. Замість цього головні (і дочірні) траєкторії збігаються в площині (E^2, j) (назвемо це виродження j -типу).

Включення кулонівської векторної взаємодії також не забезпечує ℓs -виродження. Зокрема, статична взаємодія (6.3), (6.1) не змінює взаємного розташування траєкторій, а лише зміщує всю картину в цілому на:

$$\Delta^{(\text{st})} E^2 = -2\sqrt{2}\alpha a. \quad (6.57)$$

Кулонівські поправки Едингтона-Ганта (6.4), (6.1) і Брайта (6.5), (6.1) не тільки зміщують, а й по-різному розчеплюють траєкторії:

$$\begin{aligned} \Delta^{(\text{EG})} E_{\uparrow+}^2 &= -4(\sqrt{2} \pm 1)\alpha a, \\ \Delta^{(\text{EG})} E_{\uparrow-}^2 &= -4\sqrt{2}\alpha a, \end{aligned} \quad (6.58)$$

$$\begin{aligned} \Delta^{(\text{B})} E_{\uparrow\pm}^2 &= -3(\sqrt{2} \pm 1)\alpha a, \\ \Delta^{(\text{B})} E_{\downarrow\pm}^2 &= -(3\sqrt{2} \pm 1)\alpha a. \end{aligned} \quad (6.59)$$

Однак ні при якому виборі сталої α не можна досягнути ℓs -виродження.

Мінімальна взаємодія. Потенціал (6.7), (6.2) веде до спектра:

$$\begin{aligned} E_{\uparrow+}^2 &= 4a \left(j + 2n_r + \frac{3}{2} \right) + 2m_+ \sqrt{2aj} + \frac{5}{4}m_+^2 - 2m_1m_2, \\ E_{\uparrow-}^2 &= E_{\uparrow+}^2 \pm 3\sqrt{2}a. \end{aligned} \quad (6.60)$$

Знову отримуємо асимптотично прямі траєкторії з нахилом $4a$ і вежовою структурою $(j + 2n_r)$ -типу. Однак, на відміну від попереднього випадку, усі траєкторії дещо викривлені в нижній частині (завдяки членові $\sim \sqrt{j}$), а траєкторії $\uparrow-$ розчеплені на величину $\pm 3\sqrt{2}a \approx \pm 4.24a$. Якщо скористатися нерелятивістською класифікацією цих траєкторій (як у підрозділі В розділу V) і розмістити їх у площині (E^2, ℓ) , то розчеплення дорівнюватиме $0.24a = 6\% \sigma$, що узгоджується з відхиленням реальних спектрів мезонів (5-6%) від ℓs -виродження [41]. У безмасовому випадку вираз $E_{\uparrow+}^2 = 4a(j + 2n_r + 3/2)$ збігається з точним результатом для траєкторій $\uparrow+$ (у нашій термінології), отриманим у [12], а подані там чисельні результати для траєкторій $\uparrow-$ дають ℓs -виродження з тією ж точністю (6%).

Спробуємо формулами (6.60) описати спектр $(\pi-\rho)$ -сімейства, підібравши параметри a , m_1 , m_2 . Зазначимо, що уявне продовження $\rho(770)$ -траєкторії ($0\downarrow-$ у наших термінах) на площині (E^2, j) перетинає вісь E^2 у від'ємній ділянці. Однак з формул (6.60) випливає: $E_{\uparrow-}^2(j=0, n_r=0) = 3(2 - \sqrt{2})a + \frac{5}{4}m_+^2 + 3m_1m_2 > 0$. Щоб обійти цю трудність, у [14] запропоновано ввести додатковий параметр c (зовнішній щодо моделі), що інтерпретується як енергія вакууму і входить у зв'язок мас мезонів M та модельних рівнів енергії: $M^2 = E^2 - c^2$. Тут ми спробуємо подолати цю проблему внутрішньою модифікацією моделі.

Найпростіший шлях отримати у правій частині (6.60) від'ємну сталу — розглядати маси частинок m_1

і m_2 як комплексно-спряжені величини. Проте це порушує ермітовість 2ЧРД.

У нерелятивістських потенціяльних моделях енергія рівнів понижується введенням сталої від'ємної поправки до потенціалу [56]. На рівні 2ЧРД зі скалярною взаємодією це відповідає заміні потенціалу 6.2 на

$$u_s(r) = ar + u_0, \quad (6.61)$$

де $u_0 = -0.76\text{Гев}$ (в [56] дано й теоретичне обґрунтування введення u_0 із цим значенням). Очевидно, однак, що в 2ЧРД з мінімальною взаємодією параметр u_0 можна скомпенсувати перенормуванням мас $m_a \rightarrow \tilde{m}_a = m_a + u_0/2$.

Натомість уведення кулонівської векторної взаємодії (будь-якої — статичної, Едингтона–Ганта або Брайта) зсуває всі траєкторії вліво на величину

$$\Delta E^2 = -\zeta\sqrt{2}\alpha a, \\ \zeta^{(\text{st})} = 2, \quad \zeta^{(\text{EG})} = 3, \quad \zeta^{(\text{B})} = 5/2 \quad (6.62)$$

$$E_{\uparrow+}^2 = \frac{1}{128} (7 + \sqrt{17})^2 \sqrt{23 - \sqrt{17}a} \left(j + \frac{1}{2} + \frac{1}{8} (\sqrt{17} - 3) \sqrt{102 + 26\sqrt{17}} \left(n_r + \frac{1}{2} \right) \right) \\ + \frac{1}{8} (3 + \sqrt{17}) (23 - \sqrt{17})^{\frac{1}{4}} m_+ \sqrt{2aj} + \frac{9}{8} (1 + 1/\sqrt{17}) m_+^2 - 2m_1 m_2 \\ \approx 4.2a \left(j + \frac{1}{2} + 2.03(n_r + \frac{1}{2}) \right) + 1.86m_+ \sqrt{2aj} + 1.4m_+^2 - 2m_1 m_2, \\ E_{\uparrow-}^2 = E_{\uparrow+}^2 \pm \frac{1}{128} (7 + \sqrt{17})^2 \sqrt{23 - \sqrt{17}a} \approx E_{\uparrow+}^2 \pm 4.2a. \quad (6.63)$$

Одержані вирази з незначною різницею в чисельних коефіцієнтах подібні до випадку мінімальної взаємодії. Відміна полягає в тому, що тут ℓs -виродження є *точним*, а випадкове — наближеним, з точністю 3% σ , де параметр нахилу $\sigma = 4.2a = 1.05 \div 1.26 \text{ Гев}$ також добре узгоджується з експериментом.

Так само виконується нерівність $E_{\uparrow-}^2(j=0, n_r=0) > 0$, яку не можна змінити на протилежну використанням потенціалу (6.61) замість (6.2), оскільки це еквівалентно перенормуванню мас у формулах (6.63) (складнішому, ніж у попередньому випадку). Спільний для всіх траєкторій зсув, необхідний для опису $(\pi\rho)$ -сімейства, знову досягається введенням кулонівської статичної поправки до взаємодії:

$$\Delta^{(\text{st})} E^2 = -\frac{1}{4} (7 + \sqrt{17}) \alpha a \approx -2.78\alpha a. \quad (6.64)$$

Траєкторії Редже для цього випадку, отримані при оптимальних значеннях параметрів: $a = 0.225 \text{ Гев}^2$, $\alpha = 2.85$, $m_1 = m_2 = 0.265 \text{ Гев}$, узгоджуються з $(\pi\rho)$ -спектром. Вони майже збігаються з тими, що для мінімальної взаємодії (рис. 5), різниця з'являється між дочірніми траєкторіями зі збільшенням n_r . На рис. 6 вони порівнюються між собою і з траєкторіями моделі III (див. рис. 4) у координатах (E^2, ℓ) .

і при досить великій α забезпечить умову $E_{\uparrow-}^2(j=0, n_r=0) < 0$.

На рис. 5 показано траєкторії Редже для мінімального лінійного потенціалу зі статичною кулонівською поправкою, отримані при оптимальних значеннях параметрів: $a = 0.228\text{Гев}^2$, $\alpha = 2.7$, $m_1 = m_2 = 0.275\text{Гев}$. Картина в цілому подібна на ту, що одержана в межах моделі III (рис. 4), з відмінностями у відтворенні радіальних збуджень (на дочірніх траєкторіях). Слід, однак, відзначити занадто великі значення для α та m_a . Зокрема маси кварків близькі до конститuentних значень.

Взаємодія Брауна–Рейвенгола. Як зазначено в [29], 2ЧРД з потенціалом (6.10), (6.2) не має розв'язків для зв'язаних станів через особливості поведінки функцій $W_{\uparrow}(r, E, j)$ при $r \rightarrow \infty$. У методі $1/j$ визначальною є локальна поведінка $W_{\uparrow}(r, E, j)$ в околі $r_c(j)$, $E_c(j)$, яка в цьому разі забезпечує існування квазізв'язаних станів. Їхній спектр обчислюється, як і в попередніх випадках:

Використання інших кулонівських поправок (Едингтона–Ганта або Брайта) у комбінації з лінійним потенціалом Брауна–Рейвенгола приводить до додаткового розщеплення траєкторій (нелінійного за α), яке погіршує відповідність з $(\pi\rho)$ -даними і тут не подається.

Інші взаємодії. Потенціал Брауна–Рейвенгола (6.10) можна розглядати як суперпозицію юкавської (6.6), мінімальної (6.7) та статичної (6.3) взаємодій. Якщо перші дві розглядають як скалярні, то статична є спрощеним описом векторної взаємодії. Тому цікаво поглянути, чи лінійні потенціали векторного типу забезпечують конфайнмент і який дають спектр.

Лінійний статичний потенціал (6.3), (6.2) дає асимптотично лінійні паралельні траєкторії:

$$E_{\uparrow\pm}^2 = 8a \left(j + \frac{1}{2} + \sqrt{2} \left(n_r + \frac{1}{2} \right) \right) + 4(m_1^2 + m_2^2) \quad (6.65)$$

без випадкового і ℓs -виродження (замість останнього є j -виродження), а параметр нахилу $\sigma = 8a$ вдвічі більший від того, що узгоджується з нерелятивістськими моделями.

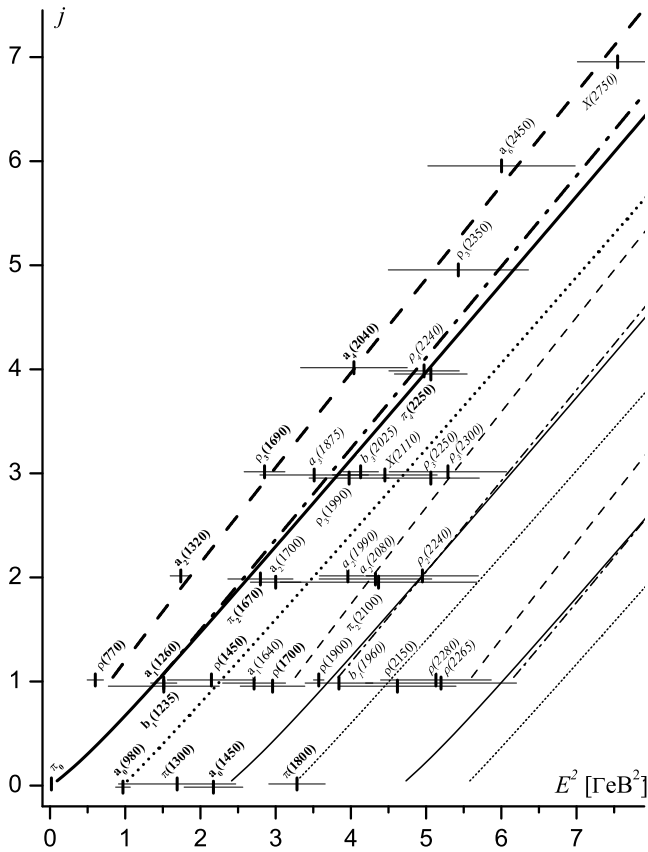


Рис. 4. Спектр π - та ρ -мезонів і оптимальні траєкторії Редже моделі III. Назви найбільш надійно встановлених резонансів подано товстим шрифтом, деяких найменш надійно встановлених — курсивом. Тонкі горизонтальні лінії вказують ширини резонансів.

Лінійний потенціал Матвеева–Мурадяна–Тавхелідзе (6.11), (6.2), що є півсумою юкавського та статичного, приводить до якісно подібного результату:

$$E_{\uparrow\pm}^2 = 3\sqrt{3}a \left(j + \frac{1}{2} + \sqrt{3} \left(n_r + \frac{1}{2} \right) \right) + 5m_+^2 - 2m_1m_2 \quad (6.66)$$

Цікаво, що 2ЧРД із цим потенціалом (так само, як з мінімальним) вважалося в [29] добрим кандидатом на релятивістську потенціальну модель.

Лінійний потенціал Едингтона–Ганта (6.4), (6.2) має ті ж недоліки, що й два попередні, і дає непаралельні траєкторії:

$$E_{\uparrow\pm}^2 = 12\sqrt{3}a \left(j + \frac{1}{2} + \sqrt{3} \left(n_r + \frac{1}{2} \right) \right) + \frac{15}{8}(m_1^2 + m_2^2) \pm \frac{3}{4}m_1m_2, \\ E_{\downarrow\pm}^2 = 16a \left(j + \frac{1}{2} + \sqrt{2} \left(n_r + \frac{1}{2} \right) \right) + 2(m_1^2 + m_2^2). \quad (6.67)$$

Таку ж властивість має і лінійний потенціал Брайтга.

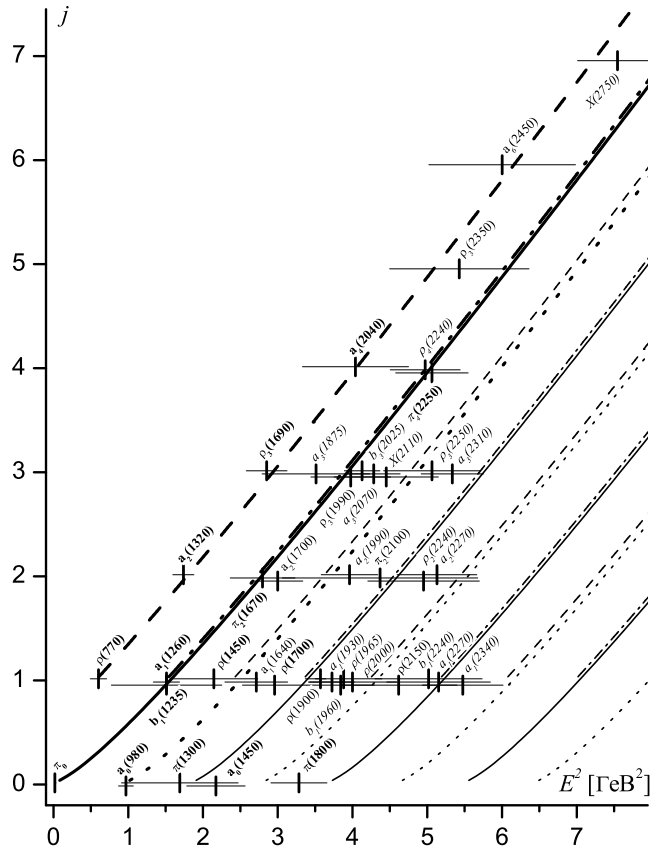


Рис. 5. Спектр π - та ρ -мезонів і оптимальні траєкторії Редже для мінімального лінійного + кулонівського статичного потенціалів. Позначення такі ж, як на рис. 4.

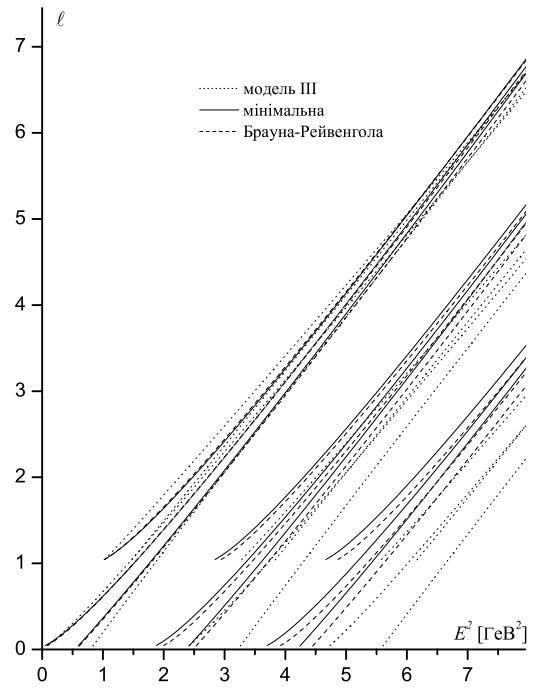


Рис. 6. Траєкторії Редже для мінімального потенціалу, потенціалу Брауна–Рейвенгола та моделі III.

VII. ВИСНОВКИ

У нашій статті розглянуто 2ЧРД зі загальним обертово-інваріантним локальним (у координатному просторі) потенціалом, який запропонували Нікітін та Фуцич у [31]. Він параметризується 48-ма (дійсними за умови ермітовості) функціями від r і тут представлений у компактному матричному вигляді. Завдяки обертовій інваріантності рівняння здійснено його радіальну редукцію, що приводить до системи 8-ми пов'язаних між собою звичайних диференціальних рівнянь 1-го порядку для радіальних компонент хвильової функції. Матриця коефіцієнтів біля похідних є виродженою. Це дає змогу виразити половину компонент хвильової функції через решту, для якої отримуємо невироджену систему 4-х рівнянь 1-го порядку, а потім — 2-х рівнянь 2-го порядку. У коефіцієнтах цих систем, як правило, з'являються нефізичні особливості — полюси в деяких залежних від енергії точках r_E (відсутні у вихідному потенціалі), які роблять звичайну краєву задачу (з умовами в точках $r = 0, \infty$) математично некоректною. Зміна краєвих умов (шляхом, наприклад, перенесення їх у точки r_E) може привести до відсутності зв'язаних станів для утримуючих (з інтуїтивного погляду) потенціалів.

Структура радіальної системи 2-го порядку дозволяє вказати широкий клас потенціалів (параметризований 14-ма функціями), вільних від нефізичних особливостей. У цьому класі знайдено сім'ю точно розв'язуваних моделей, що узагальнюють відомі діраківські осцилятори [32–34] і служать основою для релятивістської потенціальної моделі мезонів. Одну з них — 4-параметричну модель III — використано для опису $(\pi-\rho)$ -сім'ї. Отримано відповідні траєкторії Редже: вони є асимптотично паралельними прямими, але помітно викривленими в нижній частині.

Модель III добре описує стани на головних траєкторіях, гірше — на дочірніх. Причиною цього, мабуть, є брак дочірніх траєкторій, що відповідає асимптотичному виродженню спектра $(j + 2n_r)$ -типу. Можна сподіватися, що більш принагідним було б виродження $(j + n_r)$ -типу, яке поки що не вдається отримати в межах 2ЧРД. Модель III, крім того, не придатна для опису важких мезонів, оскільки в нерелятивістській межі міжкварковий потенціал зникає.

2ЧРД з потенціалами скалярного та векторного типу вважаються фізично змістовнішими кандидатами на релятивістські потенціальні моделі. Кілька версій таких потенціалів, локальних у координатному зображенні, відомі з літератури. Однак відповідні 2ЧРД не є точно інтегрованими і загалом мають згадані вище нефізичні особливості. Щоб обійти ці труднощі і використати 2ЧРД-моделі в релятивістській задачі про зв'язані стани, запропоновано наближений метод $1/j$ -розкладів. З технічного погляду він ґрунтується на

$1/\ell$ -методі і узагальнює його для двох зв'язаних рівнянь, зведених попередньо до матрично-двочленного вигляду і нелінійно залежних від спектрального параметра. З фізичного погляду метод застосовний до сильного зв'язку і нечутливий, принаймні в нижніх порядках теорії збурень, до крайових особливостей задачі.

Метод $1/j$ -розкладів застосовано тут до 2ЧРД з кількома версіями скалярного лінійного та векторного кулонівського потенціалів, відомих із літератури. Усі вони дають у нерелятивістській межі корнелльський потенціал, що використовується для опису важких мезонів. Тому ці приклади можуть претендувати на роль універсальних потенціальних моделей.

Отримано аналітичні вирази для спектра енергії в 0-му наближенні методу, які описують прямі або дещо викривлені паралельні траєкторії Редже. Кут їх нахилу узгоджується з параметрами нерелятивістської моделі для всіх версій скалярного лінійного потенціалу, окрім потенціалу Матвеева–Мурадяна–Тавхелідзе (6.11), (6.2) (запропонованого в [29] для опису легких мезонів). Цей останній, як і лінійний потенціал Юкави (6.6), (6.2), не дає ℓs -виродження траєкторій. Воно наближено забезпечується мінімальним лінійним потенціалом (6.7), (6.2), а точно — потенціалом Брауна–Рейвенгола (6.10), (6.2). В обох випадках ℓs -виродження, а також деяка кривина головних траєкторій Редже, дає хороший опис орбітально збуджених станів $(\pi-\rho)$ -сім'ї мезонів. Однак випадкове виродження $(j + 2n_r)$ -типу приводить до браку дочірніх траєкторій (як і в моделі III) для деяких радіальних збуджень цієї сім'ї.

Моделі з векторними лінійними потенціалами взагалі не забезпечують випадкового виродження, дають завеликий нахил траєкторій Редже, а деякі з них породжують непаралельні траєкторії.

Спектр для мінімальної лінійної взаємодії цілком узгоджується з отриманими раніше чисельними результатами в [12–14], де, однак, для легких мезонів одержано завищені значення мас. В даній роботі показано, що ця проблема усувається врахуванням векторної кулонівської взаємодії. Щодо лінійного потенціалу Брауна–Рейвенгола, то в строгому математичному сенсі він не дає зв'язаних станів через невідповідну поведінку коефіцієнтів радіальних рівнянь при $r \rightarrow \infty$ [29]. Отриманий тут псевдопертурбативний спектр описує квазізв'язані стани, які утримує ефективний потенціальний бар'єр (що зводиться до ями в нерелятивістській межі).

ПОДЯКИ

Автор вдячний д. ф.-м. н. В. І. Третьякові та к. ф.-м. н. Ю. Г. Яремкові за корисне обговорення роботи.

ДОДАТОК А. МАТРИЧНЕ ПРЕДСТАВЛЕННЯ ТА ВЛАСТИВОСТІ БІСПІНОРНИХ ГАРМОНІК

Біспінорні гармоніки в 2×2 -матричному представленні:

$$\begin{aligned}\phi^A(\mathbf{n}) &= \frac{1}{\sqrt{2}} Y_j^\mu(\mathbf{n}) \begin{bmatrix} 0 & -1 \\ 1 & 0 \end{bmatrix}, \\ \phi^0(\mathbf{n}) &= \frac{1}{\sqrt{2j(j+1)}} \times \begin{bmatrix} -\sqrt{(j-\mu+1)(j+\mu)} Y_j^{\mu-1} & \mu Y_j^\mu \\ \mu Y_j^\mu & \sqrt{(j+\mu+1)(j-\mu)} Y_j^{\mu+1} \end{bmatrix}, \\ \phi^-(\mathbf{n}) &= \frac{1}{\sqrt{2(j+1)(2j+3)}} \times \begin{bmatrix} \sqrt{(j-\mu+1)(j-\mu+2)} Y_{j+1}^{\mu-1} & -\sqrt{(j+\mu+1)(j-\mu+1)} Y_{j+1}^\mu \\ -\sqrt{(j+\mu+1)(j-\mu+1)} Y_{j+1}^\mu & \sqrt{(j+\mu+1)(j+\mu+2)} Y_{j+1}^{\mu+1} \end{bmatrix}, \\ \phi^+(\mathbf{n}) &= \frac{1}{\sqrt{2j(2j-1)}} \times \begin{bmatrix} \sqrt{(j+\mu-1)(j+\mu)} Y_{j-1}^{\mu-1} & \sqrt{(j+\mu)(j-\mu)} Y_{j-1}^\mu \\ \sqrt{(j+\mu)(j-\mu)} Y_{j-1}^\mu & \sqrt{(j-\mu-1)(j-\mu)} Y_{j-1}^{\mu+1} \end{bmatrix},\end{aligned}\tag{A.1}$$

де $Y_\ell^\mu(\mathbf{n})$ ($\mu = -\ell, \dots, \ell$) – сферичні гармоніки.

Основні властивості біспінорних гармонік:

$$\begin{aligned}\langle i|k \rangle &= \int d\mathbf{n} \operatorname{Tr}(\phi_i^\dagger \phi_k) = \delta_{ik}, \\ \mathbf{j}^2 \phi &= j(j+1)\phi, & j &= 0, 1, \dots, \\ j_3 \phi &= \mu \phi, & \mu &= -j, \dots, j, \\ \ell^2 \phi^i &= \ell(\ell+1)\phi^i, & \ell &= \begin{cases} j, & i = A, 0, \\ j \pm 1, & i = \mp, \end{cases} \\ \mathbf{s}^2 \phi^i &= s(s+1)\phi^i, & s &= \begin{cases} 0, & i = A, \\ 1, & i = 0, \mp, \end{cases} \\ P\phi^{A,0} &= (-)^j \phi^{A,0}, & P\phi^\mp &= (-)^{j+1} \phi^\mp, \\ [\phi^A]^\top &= -\phi^A, & [\phi^{0,\mp}]^\top &= \phi^{0,\mp}.\end{aligned}\tag{A.2}$$

Дія спінових операторів на біспінорні дублети:

$$\begin{aligned}\boldsymbol{\sigma}_1 \cdot \boldsymbol{\sigma}_2 \hat{\phi} &= \tau \hat{\phi}, & \boldsymbol{\sigma}_1 \cdot \boldsymbol{\sigma}_2 \hat{\mathbf{e}} &= \hat{\mathbf{e}}, \\ \sigma_{1r} \hat{\phi} &= \mathbf{R}^\top \hat{\mathbf{e}}, & \sigma_{1r} \hat{\mathbf{e}} &= \mathbf{R} \hat{\phi}, \\ \sigma_{2r} \hat{\phi} &= -\sigma_3 \mathbf{R}^\top \hat{\mathbf{e}}, & \sigma_{2r} \hat{\mathbf{e}} &= -\mathbf{R} \sigma_3 \hat{\phi}, \\ \sigma_{1r} \sigma_{2r} \hat{\phi} &= -\sigma_3 \hat{\mathbf{e}}, & \sigma_{1r} \sigma_{2r} \hat{\mathbf{e}} &= -\mathbf{R} \sigma_3 \mathbf{R}^\top \hat{\phi}, \\ (\mathbf{n}, \boldsymbol{\sigma}_1, \boldsymbol{\sigma}_2) \hat{\phi} &= -2i \sigma_\uparrow \mathbf{R}^\top \hat{\mathbf{e}}, & (\mathbf{n}, \boldsymbol{\sigma}_1, \boldsymbol{\sigma}_2) \hat{\mathbf{e}} &= 2i \mathbf{R} \sigma_\uparrow \hat{\phi}\end{aligned}\tag{A.3}$$

ДОДАТОК В. ОРТОГОНАЛЬНЕ ПЕРЕВОРЕННЯ ПОТЕНЦІЯЛІВ

Матрицю \mathbf{O} зручно подати у вигляді

$$\mathbf{O} = \mathbf{O}_2 \mathbf{O}_1,\tag{B.1}$$

де блок-діагональна матриця (залежна від P):

$$\mathbf{O}_1 = \begin{bmatrix} \mathbf{I} & & & \\ & \sigma_3 \mathbf{R}^T & & \\ & & \mathbf{0} & \\ \mathbf{0} & & & -\mathbf{R}^T \\ & & & & -\sigma_3 \end{bmatrix} \text{ для } P = (-)^{j\pm 1}, \quad (\text{B.2}) \quad \mathbf{O}_1 = \begin{bmatrix} \sigma_3 \mathbf{R}^T & & & \\ & \mathbf{I} & & \\ & & \mathbf{0} & \\ \mathbf{0} & & & -\sigma_3 \\ & & & & -\mathbf{R}^T \end{bmatrix} \text{ для } P = (-)^j \quad (\text{B.3})$$

тривіалізує блоки в \mathbf{H} (та інших матрицях):

$$\tilde{\mathbf{H}} = \mathbf{O}_1 \mathbf{H} \mathbf{O}_1^T = \begin{bmatrix} 0 & -\mathbf{I} & \mathbf{I} & 0 \\ \mathbf{I} & 0 & 0 & -\mathbf{I} \\ -\mathbf{I} & 0 & 0 & \mathbf{I} \\ 0 & \mathbf{I} & -\mathbf{I} & 0 \end{bmatrix}, \quad (\text{B.4})$$

а

$$\mathbf{O}_2 = \frac{1}{\sqrt{2}} \begin{bmatrix} \mathbf{I} & 0 & 0 & -\mathbf{I} \\ 0 & -\mathbf{I} & \mathbf{I} & 0 \\ 0 & \mathbf{I} & \mathbf{I} & 0 \\ \mathbf{I} & 0 & 0 & \mathbf{I} \end{bmatrix} \text{ для } P = (-)^{j\pm 1}, \quad (\text{B.5}) \quad \mathbf{O}_2 = \frac{1}{\sqrt{2}} \begin{bmatrix} 0 & \mathbf{I} & -\mathbf{I} & 0 \\ \mathbf{I} & 0 & 0 & -\mathbf{I} \\ -\mathbf{I} & 0 & 0 & -\mathbf{I} \\ 0 & \mathbf{I} & \mathbf{I} & 0 \end{bmatrix} \text{ для } P = (-)^j \quad (\text{B.6})$$

зводить $\tilde{\mathbf{H}}$ до канонічного вигляду (4.2). Крім цього, \mathbf{O}_1 та \mathbf{O}_2 вибрані так, що зводять \mathbf{G} до незалежного від P вигляду:

$$\bar{\mathbf{G}} = 2 \begin{bmatrix} 0 & \sigma_{\uparrow} & C\sigma_1 & 0 \\ \sigma_{\uparrow} & 0 & 0 & 0 \\ C\sigma_1 & 0 & 0 & 0 \\ 0 & 0 & 0 & 0 \end{bmatrix}. \quad (\text{B.7})$$

Інші матриці:

$$\bar{\mathbf{m}} = \begin{bmatrix} 0 & & \mu \\ & -\nu & \\ \mu & & 0 \end{bmatrix}, \quad (\text{B.8})$$

де $\mu = m_{\pm}$ і $\nu = m_{\mp}$ для $P = \mp(-)^j$; власні потенціали: $\bar{\mathbf{U}} = \bar{\mathbf{\Delta}} \bar{\mathbf{S}}$, де

$$\bar{\mathbf{\Delta}} = \begin{bmatrix} U_1 + U_5 \sigma_3 & 0 & 0 & U_3 + iU_7 \sigma_3 \\ 0 & U_2 + U_6 \sigma_3 & U_4 + iU_8 \sigma_3 & 0 \\ 0 & U_4 - iU_8 \sigma_3 & U_2 - U_6 \sigma_3 & 0 \\ U_3 - iU_7 \sigma_3 & 0 & 0 & U_1 - U_5 \sigma_3 \end{bmatrix} \quad (\text{B.9})$$

для $P = (-)^{j\pm 1}$,

$$\bar{\mathbf{\Delta}} = \begin{bmatrix} U_2 + U_6 \sigma_3 & 0 & 0 & -U_4 - iU_8 \sigma_3 \\ 0 & U_1 + U_5 \sigma_3 & -U_3 - iU_7 \sigma_3 & 0 \\ 0 & -U_3 + iU_7 \sigma_3 & U_1 - U_5 \sigma_3 & 0 \\ -U_4 + iU_8 \sigma_3 & 0 & 0 & U_2 - U_6 \sigma_3 \end{bmatrix} \quad (\text{B.10})$$

для $P = (-)^j$, де

$$\begin{aligned} U_1 &= \frac{1}{2}(U_{11} + U_{44}), & U_5 &= \frac{1}{2}(W_{14} + W_{14}^*), \\ U_2 &= \frac{1}{2}(U_{22} + U_{33}), & U_6 &= \frac{1}{2}(W_{23} + W_{23}^*), \\ U_3 &= \frac{1}{2}(U_{11} - U_{44}), & U_7 &= \frac{1}{2}i(W_{14} - W_{14}^*), \\ U_4 &= \frac{1}{2}(U_{22} - U_{33}), & U_8 &= -\frac{1}{2}i(W_{23} - W_{23}^*), \end{aligned} \quad (\text{B.11})$$

а

$$\bar{\mathbf{S}} = \begin{bmatrix} \bar{\mathbf{S}} & & & \\ & \bar{\mathbf{\Sigma}} & & \\ & & \mathbf{0} & \\ \mathbf{0} & & & \bar{\mathbf{S}} \end{bmatrix} \text{ для всіх } P, \quad (\text{B.12})$$

де

$$\begin{aligned} \bar{S} &= S|_{R=I}, \\ \bar{\Sigma} &= \Sigma|_{R=I} : \end{aligned} \quad \begin{array}{c|ccc} i & 1 & 2 & 3 \\ \hline \bar{S}_{(i)} & I & \boldsymbol{\sigma}_1 \cdot \boldsymbol{\sigma}_2 & (\boldsymbol{\sigma}_1 \cdot \mathbf{n})(\boldsymbol{\sigma}_2 \cdot \mathbf{n}) \\ \hline \bar{S}_{(i)} & I & \tau & -\sigma_3 \\ \hline \bar{\Sigma}_{(i)} & I & I & -\sigma_3 \end{array}; \quad (\text{B.13})$$

невласні потенціали: $\bar{U} = \bar{\Omega}\bar{T}$, де

$$\bar{\Omega} = \begin{bmatrix} 0 & W_3 + W_4\sigma_3 & W_1 - W_2\sigma_3 & 0 \\ \bar{W}_3 + \bar{W}_4\sigma_3 & 0 & 0 & \bar{W}_1 + \bar{W}_2\sigma_3 \\ \bar{W}_1 - \bar{W}_2\sigma_3 & 0 & 0 & \bar{W}_3 - \bar{W}_4\sigma_3 \\ 0 & W_1 + W_2\sigma_3 & W_3 - W_4\sigma_3 & 0 \end{bmatrix} \quad (\text{B.14})$$

для $P = (-)^{j\pm 1}$,

$$\bar{\Omega} = \begin{bmatrix} 0 & -\bar{W}_3 - \bar{W}_4\sigma_3 & \bar{W}_1 + W_2\sigma_3 & 0 \\ -W_3 - W_4\sigma_3 & 0 & 0 & W_1 - W_2\sigma_3 \\ W_1 + W_2\sigma_3 & 0 & 0 & -W_3 + \bar{W}_4\sigma_3 \\ 0 & \bar{W}_1 - \bar{W}_2\sigma_3 & -\bar{W}_3 + \bar{W}_4\sigma_3 & 0 \end{bmatrix} \quad (\text{B.15})$$

для $P = (-)^j$, де

$$\begin{aligned} W_1 &= \frac{1}{2}(W_{13} - \bar{W}_{24}), & W_2 &= \frac{1}{2}(W_{12} - \bar{W}_{34}), \\ W_3 &= \frac{1}{2}(W_{13} + \bar{W}_{24}), & W_4 &= \frac{1}{2}(W_{12} + \bar{W}_{34}), \end{aligned} \quad (\text{B.16})$$

а

$$\bar{T} = \begin{bmatrix} \bar{T} & & & 0 \\ & -\bar{T}^\dagger & & \\ 0 & & -\bar{T}^\dagger & \\ & & & \bar{T} \end{bmatrix} \quad \text{для усіх } P, \quad (\text{B.17})$$

де

$$\bar{T} = T|_{R=I} : \quad \begin{array}{c|ccc} i & 1 & 2 & 3 \\ \hline T_{(i)} & \boldsymbol{\sigma}_1 \cdot \mathbf{n} & \boldsymbol{\sigma}_2 \cdot \mathbf{n} & (\mathbf{n}, \boldsymbol{\sigma}_1, \boldsymbol{\sigma}_2) \\ \hline \bar{T}_{(i)} & I & -\sigma_3 & -2i\sigma_\uparrow \end{array}. \quad (\text{B.18})$$

ДОДАТОК С. ОБЧИСЛЕННЯ АСИМПТОТИК ДЛЯ ЛІНІЙНИХ ПОТЕНЦІАЛІВ

Припустімо, що в рівнянні Тодорова з лінійним скалярним та кулонівським векторним потенціалами функції $r_c(\ell)$ та $E_c(\ell)$ справді є монотонно-зростаючими (якщо це було б не так, то рано чи пізно виникла б суперечність). Тоді для обчислення асимптотик $r_\infty(\ell)$ та $E_\infty(\ell)$ у функції $W(r, E, \ell)$ (заданій формулами (6.1), (6.2), (6.37), (6.38)) досить залишити її головні члени, знехтувавши кулонівською взаємодією та масами спокою частинок:

$$W \sim -\frac{1}{4}E^2 + a^2r^2 + \frac{\ell^2}{r^2}. \quad (\text{C.1})$$

Із рівнянь $W = 0$ та

$$\frac{\partial W}{\partial r} \sim 2\left(a^2r - \frac{\ell^2}{r^3}\right) = 0 \quad (\text{C.2})$$

(див. (6.16)–(6.17)) відразу отримуємо шукані асимптотики:

$$r_\infty = \sqrt{\ell/a} = 1/(\sqrt{a}\lambda), \quad E_\infty = 2\sqrt{2a\ell} \implies b_\infty = 2a/\lambda^2. \quad (\text{C.3})$$

Подібно діємо у випадку 2ЧРД з будь-яким із указаних у розділі VI лінійним скалярним та кулонівським векторним потенціалами (або їх суперпозицією). Знехтувавши у функціях W_{\uparrow} та W_{\downarrow} масами та кулонівською взаємодією і зберігши головні члени, отримуємо для них таку загальну структуру:

$$W \sim -\frac{1}{4}(E + \varkappa_1 ar) \left(E + \varkappa_2 ar - \frac{(\varkappa_0 ar)^2}{E + \varkappa_3 ar} \right) + \frac{j^2}{r^2}, \quad (C.4)$$

де безрозмірні коефіцієнти \varkappa_n ($n = 0, \dots, 3$) залежать від спінової структури потенціалу і, взагалі кажучи, є різними для різних функцій $W_{\uparrow\pm}$. Після заміни змінних :

$$r_{\infty} = z\sqrt{j/a}, \quad E_{\infty} = y\sqrt{aj} \quad (C.5)$$

рівняння (6.16)–(6.17) із функцією (C.4) набирають вигляду:

$$\frac{1}{4}[y + \varkappa_1 z] \left[y + \varkappa_2 z - \frac{\varkappa_0^2 z^2}{y + \varkappa_3 z} \right] - \frac{1}{z^2} = 0, \quad (C.6)$$

$$\frac{1}{4}\varkappa_1 z \left[y + \varkappa_2 z - \frac{\varkappa_0^2 z^2}{y + \varkappa_3 z} \right] + \frac{1}{4}[y + \varkappa_1 z] \left[\varkappa_2 z - 2\frac{\varkappa_0^2 z^2}{y + \varkappa_3 z} + \frac{\varkappa_0^2 \varkappa_3 z^3}{(y + \varkappa_3 z)^2} \right] + \frac{2}{z^2} = 0. \quad (C.7)$$

Із них після нескладних викладок можна отримати рівняння

$$[2t + 3\varkappa_1][t + \varkappa_3] [(t + \varkappa_2)(t + \varkappa_3) - \varkappa_0^2] + [t + \varkappa_1] [\varkappa_2(t + \varkappa_3)^2 - 2\varkappa_0^2(t + \varkappa_3) + \varkappa_0^2 \varkappa_3] = 0 \quad (C.8)$$

на змінну $t = y/z$, яке є алгебраїчним рівнянням 4-го степеня. Тоді з рівняння (C.6) можна одержати вирази для шуканих величин z і y у термінах розв'язку t рівняння (C.8):

$$z = \sqrt[4]{\frac{4(t + \varkappa_3)}{(t + \varkappa_1)[(t + \varkappa_2)(t + \varkappa_3) - \varkappa_0^2]}}, \quad y = tz. \quad (C.9)$$

Серед усіх розв'язків рівняння (C.8) треба залишити фізичні: вони повинні задовольняти нерівності $t > 0$, $t + \varkappa_n > 0$ ($n = 1, 2, 3$), необхідні для існування зв'язаного стану в нерелятивістській межі, а також умову (6.18) (яка в термінах t є громіздкою, і ми її тут не подаємо). В усіх розглянутих у нашій статті випадках ці умови визначають розв'язок t однозначно.

-
- [1] G. Breit, Phys. Rev. **34**, 553 (1929).
 [2] H. A. Bethe, E. E. Salpeter, *Quantum Mechanics of One- and Two-Electron Atoms* (Berlin–Göttingen–Heidelberg, Springer-Verlag, 1957).
 [3] A. S. Eddington, Proc. R. Soc. London, Ser. A **122**, 358 (1929).
 [4] J. A. Gaunt, Philos. Trans. R. Soc. London, Ser. A **228**, 151 (1929); Proc. R. Soc. London, Ser. A **122**, 513 (1929).
 [5] J. W. Darewych, L. Di Leo, J. Phys. A **29**, 6817 (1996).
 [6] A. O. Barut, S. Komy, Fortsch. Phys. **33**, 309 (1985).
 [7] A. O. Barut, N. Ünal, Physica A **142**, 467 (1987).
 [8] W. T. Grandy Jr., *Relativistic Quantum Mechanics of Leptons and Fields* (Dordrecht–Boston–London, Kluwer Academic Publishers, 1991).
 [9] W. Krolikowski, Acta Phys. Pol. B **7**, 485 (1976).
 [10] R. W. Childers, Phys. Rev. D **36**, 606 (1987).
 [11] D. D. Brayshaw, Phys. Rev. D **36**, 1465 (1987).
 [12] R. Ceuleneer, P. Legros, C. Semay, Nucl. Phys. A **532**, 395c (1991).
 [13] C. Semay, R. Ceuleneer, B. Silvestre-Brac, J. Math. Phys. **34**, 2215 (1993).
 [14] C. Semay, R. Ceuleneer, Phys. Rev. D **48**, 4361 (1993).
 [15] G. D. Tsibidis, e-Print hep-ph/0007143 (2000).
 [16] M. Moshinsky, A. G. Nikitin, Revista Mexicana de Física **50**, 66 (2005).
 [17] I. В. Сименог, О. І. Туровський, Укр. фіз. журн. **46**, 391 (2001).
 [18] I. В. Сименог, О. І. Туровський, Журн. фіз. досл. **8**, 23 (2004).
 [19] H. Sazdjian, Phys. Rev. D **33**, 3401 (1986).
 [20] H. W. Crater, P. Van Alstine, Phys. Rev. D **36**, 3007 (1987).
 [21] J. W. Darewych, Cond. Matt. Phys. **1**, 593 (1998).
 [22] J. W. Darewych, A. Duviryak, Phys. Rev. A **66**, 032102-1 (2002).
 [23] A. Duviryak, J. W. Darewych, Central Europ. J. Phys. **3**, 1 (2005).
 [24] E. E. Salpeter, H. A. Bethe, Phys. Rev. **84**, 1232 (1951).
 [25] E. E. Salpeter, Phys. Rev. **87**, 328 (1952).
 [26] R. N. Faustov, Nucl. Phys. **75**, 669 (1966).
 [27] V. A. Matveev, R. M. Muradyan, A. N. Tavkhelidze, Communications of the Joint Institute for Nuclear Physics, E2-3498 (Dubna, 1967).
 [28] А. А. Хелашвили, Сообщения Объединенного института ядерных исследований, P2-4327 (Дубна, 1969).
 [29] А. А. Хелашвили, Теор. мат. физ. **51**, 201 (1982).
 [30] H. W. Crater, C. W. Wong, C.-Y. Wong, Int. J. Mod. Phys. E **5**, 589 (1996).
 [31] А. Г. Никитин, В. И. Фушич, Теор. мат. физ. **88**, 406 (1991).

- [32] M. Moshinsky, A. Szczepaniak, J. Phys. A **22**, L817 (1989).
- [33] M. Moshinsky, G. Loyola, C. Villegas J. Math. Phys. **32**, 373 (1991).
- [34] M. Moshinsky, C. Quesne, Yu. F. Smirnov, J. Phys. A **28**, 6447 (1995).
- [35] L.D. Mlodinov, M. P. Shatz, J. Math. Phys. **25**, 943 (1984).
- [36] T. Imbo, A. Pagnamenta, U. Sukhatme, Phys. Rev. D **29** 1669 (1984).
- [37] I. O. Vakarchuk, J. Phys. Stud. **6**, 46 (2002).
- [38] O. Mustafa, T. Barakat, Commun. Theor. Phys. **28**, 257 (1997).
- [39] O. Mustafa, T. Barakat, Commun. Theor. Phys. **29**, 587 (1998).
- [40] Z. V. Chraplyvy, Phys. Rev. **91**, 388 (1953).
- [41] Е. Б. Бердников, Г. П. Пронько, Теор. мат. физ. **54**, 763 (1991).
- [42] C. Goebel, D. LaCourse, M. G. Olsson, Phys. Rev. D **41**, 2917 (1990).
- [43] T. Takabayasi, Prog. Theor. Phys. **42**, 423 (1969).
- [44] T. Takabayasi, Prog. Theor. Phys. **42**, 1210 (1969).
- [45] T. Takabayasi, Prog. Theor. Phys. **61**, 1235 (1979).
- [46] Y. S. Kim, M. E. Noz, Phys. Rev. D **8**, 3521 (1973).
- [47] S. Ishida, M. Oda, Nuovo Cimento A **107**, 2519 (1994).
- [48] Yu. A. Simonov, Nuovo Cimento A **107**, 2629 (1994).
- [49] В. В. Хрущев, Яд. физ. **46**, 219 (1987).
- [50] V. V. Khrushchev, preprint ИИЭП 87-9 (Serpukhov, 1987).
- [51] A. Duviryak, Int. J. Mod. Phys. A **14**, 4519 (1999).
- [52] A. Duviryak, Int. J. Mod. Phys. A **16**, 2771 (2001).
- [53] V. I. Borodulin, M. S. Plyushchay, G. P. Pron'ko, Z. Phys. C **41**, 293 (1988).
- [54] A. Inopin, G. S. Sharov, Phys. Rev. D **63**, 054023-1 (2001).
- [55] W.-M. Yao *et al.*, J. Phys. G **33**, 1 (2006).
- [56] W. Lucha, F. F. Schoberl, D. Gromes, Phys. Rep. **200**, 127 (1991).
- [57] A. Duviryak, J. Phys. G **28**, 2795 (2002).
- [58] G. E. Brown, D. G. Ravenhall, Proc. R. Soc. London Ser. A **208**, 552 (1951).
- [59] G. Feldman, Th. Fulton, J. Townsend, Phys. Rev. A **8**, 1149 (1973).
- [60] I. T. Todorov, Phys. Rev. D **3**, 2351 (1971).
- [61] V. A. Rizov, H. Sazdian, I. T. Todorov, Ann. Phys. (NY) **165**, 59 (1985).

APPLICATION OF TWO-BODY DIRAC EQUATION IN MESON SPECTROSCOPY

A. Duviryak

*Institute for Condensed Matter Physics of the National Academy of Sciences of Ukraine,
1 Svientsitskii St., UA-79011 Lviv, Ukraine*

The two-body Dirac equation with the general local potential is reduced to a pair of ordinary second-order differential equations for radial components of the wave function. The class of special potentials is found for which the equation possesses exact solutions. For other cases the pseudo-perturbative $1/j$ -expansion method is proposed. Several models of light mesons are constructed and exact and approximate energy spectra are calculated. They are compared with experimental data.